

Université des Sciences et de la Technologie H.Boumediene

Ecole Nationale Polytechnique

Département Mines et Métallurgie

1/84  
200

**MEMOIRE  
DE FIN D'ETUDES**

ETUDE MORPHOLOGIQUE DU GRAIN DE  
RECRYSTALLISATION DE L'ALUMINIUM  
APRES DIFFERENTS ECROUSSAGES.

Sujet proposé par

Mr. B. SCHMITT

Dirigé par

Mr. K. ABADLI

Etudié par

KERKAR Moussa

Janvier 1984

ECOLE NATIONALE POLYTECHNIQUE  
DEPARTEMENT MINES ET METALLURGIE

Nom:.....KERKAR  
Prenom:.....Moussa  
N  
Nom du promoteur:.....ABADLI

RESUME

Nous avons étudie l'evolution de la morphologie des grains dans une plaque d'aluminium écrasée par traction et recristallisée à 600°C pendant 30 mn.

Nous avons constaté que la déformation provoque une fragmentation des grains en les allongeant dans la direction de traction.

Après recristallisation les grains tendent à devenir isotropes.

SUMMARY

We 've studied the evolution of the morphology of grains in an aluminium plate deformed by tension and recrystallised at 600°C 30mn.

We observed that the deformation provokes in the grains a fragmentation and an elongation in the tension direction.

After recrystallisation, the grain ten to become isotropic.

ملخص

لقد درسنا اسرار مسحوقه بلورات صفيحة الومنيوم  
اصيبت بتجاهيد من اريق الشد وتدليل التبلير تحت حرارة  
600°C لمدة 30 دقيقة ،لقد لاحظنا ان التأثير الميكانيكي يفتت  
البلورات ويحددها في اتجاه التأثير ،بعد التأثير الحراري تأخذ  
البلورات شكلًا منتاظراً ،



Université des Sciences et de la Technologie H.Boumediene

Ecole Nationale Polytechnique

Département Mines et Métallurgie

# MEMOIRE DE FIN D'ETUDES

ETUDE MORPHOLOGIQUE DU GRAIN DE  
RECRYSTALLISATION DE L'ALUMINIUM  
APRES DIFFERENTS ECROUSSAGES.



Sujet proposé par

Mr. B. SCHMITT

Dirigé par

Mr. K.ABADLI

Etudié par

KERKAR Moussa

Janvier 1984

À la mémoire de mes grands parents  
À mes très chers parents  
À mes frères et sœurs  
À ma belle sœur  
À mes neveux  
À mes beaux frères  
À mon très cher C. Amine-Eddine  
À tous mes amis

je dédie ce modeste travail.

## Remerciements

Je tiens avant tout à exprimer ma profonde reconnaissance à Monsieur SALHI, chef du département mines et métallurgie, qui a fait le maximum d'efforts, pour me permettre d'accomplir ce travail dans de bonnes conditions.

Je tiens à exprimer mes remerciements à Monsieur ABAOLI pour sa précieuse aide et la bonne ambiance dans laquelle a été accompli ce travail.

Je tiens également à remercier :

- Les membres du jury qui m'honorent, de juger ce modeste travail

- Monsieur KOVADRIA et tous le personnel du laboratoire de mécanique de la SNVI, à Ruirba, pour leur précieuse aide.

- Monsieur CHABANE, chef de service outillage du département mécanique à la SNVI, pour son aide.

- Tous ceux qui ont contribué à la réalisation de ce modeste travail, le personnel et les enseignants du département, ainsi que tous mes amis qui m'ont soutenu durant ce travail.

## SOMMAIRE.

Introduction	1
CHAPITRE I	3
Propriétés générales de l'aluminium	3
1.1. Propriétés physiques	4
1.2. Propriétés mécaniques	7
1.3. Propriétés chimique	8
1.4. Effet des impuretés, chimiques	9
CHAPITRE II	
Écrasage et recristallisation des métals cubiques, à faces centrées	12
2.1. Déformation plastique	13
2.1.1. Déformation d'un monocrystal	
2.1.2. Influence de la température	16
2.1.3. Influence de l'orientation	17
2.1.4. Déformation, des polycristaux	
2.1.5. Écrasage par traction	18
2.1.6. Forme, des courbes de traction	19
2.2. Recristallisation	23
2.2.1. Recuit de recristallisation	
2.2.2. Etages de recristallisation	24
2.2.3. Recristallisation, de l'aluminium	29
CHAPITRE III	
Morphologie, d'écrasage et de recristallisation des agrégats polycristallins	35

3.1. Morphologie de l'écrasissage ----- 36

3.2. Morphologie de recristallisation ----- 37

#### CHAPITRE IV

Méthodes expérimentales et matériau étudié ----- 39

4.1. Préparation des échantillons ----- 40

4.2. Préparation des éprouvettes -----

4.3. Attaque chimique ----- 41

4.4. Recuit d'homogénéisation et de recristallisation ----- 44

4.5. Techniques expérimentales ----- 47

4.5.1. Essai de traction -----

4.5.2. Détermination de l'écrasissage -----

4.5.3. Essai de duré ----- 49

4.5.4. Etude de la morphologie du grain ----- 52

#### CHAPITRE V

Résultats expérimentaux et interprétations ----- 53

5.1. Étude morphologique de la structure de recristallisation ----- 54

5.1.1. Détermination du seuil de recristallisation -----

5.1.2. Influence de l'écrasissage sur la morphologie du grain de recristallisation -----

5.1.3. Influence de la structure de recristallisation sur les propriétés mécaniques ----- 61

5.1.4. Détermination de l'écrasissage, critique -----

5.2. - Analyses complémentaires ----- 64

5.2.1. Enregistrement du diagramme de traction avec détermination

de la limite de proportionnalité	
5.2.2. Evolution des déformations longitudinales et transversales au cours de l'érouissage	67
Conclusion	70
Liste des figures	72
Références et bibliographie	73

## Introduction

La transformation d'un métal écaillé en un métal recristallisé fait l'objet d'études approfondies dans bien des laboratoires et intéresse de plus en plus les ingénieurs métallurgistes.

Cet intérêt est dicté par une meilleure maîtrise d'utilisation des métaux et alliages donc par une meilleure connaissance de leurs comportements avec différents traitements.

Les métaux sont des agrégats polycristallins. Une déformation à froid (par laminage, emboutissage, tréfilage etc...) provoque la modification de la morphologie de ces cristaux ou grains. En effet, au cours de la déformation plastique, les grains ont tendance à changer leur forme et leur orientation. Cette variation de la morphologie, dépend de la nature de la déformation et elle est d'autant plus marquée que la déformation est importante.

De même nous avons constaté que ces changements de taille et de la forme des grains constituant le métal s'accompagne d'un durcissement de celui-ci. Ce durcissement croît avec la déformation jusqu'à une certaine limite dépendant du matériau.

Ce durcissement a pour conséquence une augmentation de la fragilité, une diminution de la résistance à la corrosion et surtout une diminution de la ductilité (aptitude à la transformation et à l'usinage). C'est pourquoi il est non souhaité dans la plupart des utilisations. Pour améliorer les qualités du

matériau métallique un recuit de recristallisation est généralement nécessaire. Ce recuit consiste à porter le métal à une température suffisamment élevée dépendant de la nature du métal et de son état (impuretés, structure, taux d'écrasement, etc...). L'anisotropie des grains apportée par l'écrasement disparaît en cédant la place à une morphologie de recristallisation isotrope et répartie de façon homogène. Qu'en, il apparaît clairement qu'il existe une relation directe entre la morphologie du grain (taille, forme et elongation) et les propriétés mécaniques du produit métallurgique.

Le but de notre travail est de contribuer à l'étude de l'effet de l'écrasement sur la morphologie de recristallisation, de la répartition de cette morphologie dans le matériau polycristallin et enfin de déterminer comment évoluent les propriétés mécaniques.

Nous avons choisi comme matériau l'aluminium de pureté courante (99,5%) connu sous la nomenclature AFNOR par A5. Cet aluminium est caractérisé comme tout les métaux de structure cubique à faces centrées par une grande ductilité et un important durcissement par écrasement.

Nous avons jugé utile de réservé un chapitre pour présenter l'aluminium en donnant ses caractéristiques physiques, mécaniques et chimiques.

Les chapitres II et III sont consacrés à la base théorique de notre étude c'est à dire la déformation plastique, la recristallisation et la morphologie, d'écrasement et de recristallisation de l'aluminium.

Dans le chapitre IV, nous décrivons le matériau étudié et les techniques expérimentales.

Dans le chapitre V, nous exposons les résultats expérimentaux et leurs interprétations. Enfin nous terminons cette étude par nos conclusions sur ces résultats.

CHAPITRE I

Propriétés générales de l'aluminium.

## 1.1 Propriétés physiques

L'aluminium est un métal de couleur gris-bleu. Il possède une structure cubique à faces centrées de paramètre  $a = 4,0413 \text{ \AA}$  (fig 2).

L'une de ses principales caractéristiques est sa légèreté : le métal raffiné à 99,996% a une densité de 2,699 à 20°C. Cette densité augmente légèrement lorsque la pureté du métal diminue ; elle est de 2,75 à 20°C pour la pureté 99,5%.

L'aluminium est un bon conducteur de l'électricité et de la chaleur. Les conductibilités électriques et thermiques de l'aluminium de pureté 99,999% sont respectivement de l'ordre de 65% et 60% de celle correspondants au cuivre (\*).

Enfin nous résumons les propriétés électriques et thermiques selon l'état, la nuance et la température, dans les tableaux suivants [1] :

Tableau 1

Al %	Etat	résistivité électrique à 20°C ( $\mu \Omega \text{ cm}^2/\text{cm}$ )
99,99	Recuit	2,63
99,5	Recuit	2,80
99,5	Écroui	2,845

(\*) La résistivité du cuivre électrolytique de pureté (99,96% minimum) à 20°C et à l'état recuit pris comme étalon est  $1,7241 \mu \Omega \text{ cm}^2/\text{cm}$ . La conductibilité thermique est  $0,94 \text{ cal/cm.s }^\circ\text{C}$ .

Tableau 2

Température de fusion

Al %	Point de fusion ( $^{\circ}\text{C}$ )
99,996	660,24
99,970	659,80
99,700	658,90
99,500	658,40

Température d'ébullition sous 760 mm Hg : 2056  $^{\circ}\text{C}$ .

Tableau 3

coefficients de dilatation

T ( $^{\circ}\text{C}$ )	coefficients de dilatation ( $\text{degr}^{-1}$ )
- 33	$21,07 \cdot 10^{-6}$
0	$22,0 \cdot 10^{-6}$
20 à 100	$23,80 \cdot 10^{-6}$
100 à 300	$25,70 \cdot 10^{-6}$
300 à 400	$29,50 \cdot 10^{-6}$

Tableau 4

Chaleur spécifique (aluminium de pureté 99,9%).

$T$ ( $^{\circ}\text{C}$ )	Chaleur spécifique (cal / g $^{\circ}\text{C}$ )
0	0,22
100	0,23
500	0,26
658 solide	0,273
658 liquide	0,25
800	0,257

Tableau 5

Conductibilité thermique (titre 99,9%)

$T$ ( $^{\circ}\text{C}$ )	Cond. thermique (cal / cm.s. $^{\circ}\text{C}$ )
0	0,502
20	0,520
100	0,523
200	0,536
500	0,499 (0,599)

Tension de vapeur :

$T$ ( $^{\circ}\text{C}$ )	$P_{\text{at}}$ (mm Hg)
660	$6,2 \cdot 10^{-4}$
1030	1

## 1.2 Propriétés mécaniques

L'aluminium est un métal très ductile. Ce qui permet des estampages profonds et le laminage en feuilles aussi minces que 5 millièmes de millimètre.

Les caractéristiques mécaniques intrinsèques de l'aluminium sont les suivantes:

- module d'élasticité  $6700 \text{ kg/mm}^2$
- module de torsion  $2700 \text{ kg/mm}^2$
- coefficient de Poisson 0,34

Ces caractéristiques varient beaucoup selon la nature et la teneur des impuretés, ainsi que suivant la genèse du convoyage et du recuit du métal.

Le tableau ci-dessous donne les chiffres couramment admis pour l'aluminium raffiné et l'aluminium ordinaire commerciaux laminés.

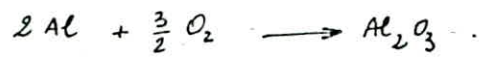
Tableau 6.

Comparaison des caractéristiques des aluminiums de pureté 99,997 et 99,5 %.

Titre du métal (%)	Etat du métal	R	$E_{0,2}$	A %
99,997	Recuit	5	2	60
	Ecroui $1/2$ dur	8	6	18
	Ecroui dur	13	9	10
99,5	Recuit	8	4	35
	Ecroui $1/2$ dur	11	10	14
	Ecroui, dur	18	15	5

### 1.3 Propriétés chimiques

L'aluminium est un métal extrêmement oxydable



Il est, cependant, inalterable dans l'air, car il se couvre, à froid, d'une mince couche protectrice d'alumine anhydre très adhérente et très compacte. Cette protection améliore notablement la résistance à la corrosion.

A haute température, l'aluminium réduit la plupart des oxydes métalliques. Enfin l'aluminium se dissout dans les acides forts, ainsi que dans les bases fortes (avec lesquelles il forme des aluminoxydes) tout en dégageant de l'hydrogène.

### 1.4 Effet des impuretés chimiques

L'aluminium industriel est élaboré sous forme de tôles, profiles, barres, fils, etc...

Il contient comme inclusions Fe, Si, Cu, Mn, Zn, Ti. La présence, dans l'aluminium, de ces impuretés, même en faible quantité, est susceptible d'avoir une influence considérable sur certaines de ses propriétés. L'aptitude à la recristallisation après écrasissage offre un exemple caractéristique de cette action. L'aluminium de titre 99,99%, contenant 100 parties par million d'impureté recristallise, après un fort écrasissage, à une température voisine de 200°C, et que le métal raffiné par double électrolyse, de titre 99,998%

contenant 20 parties par million d'impuretés, recristallisé vers  $50^{\circ}\text{C}$  à  $100^{\circ}\text{C}$  [2]. Une purification plus poussée abaisse la température de recristallisation jusqu'en dessous de l'ambrante [3]. Nous verrons plus loin l'effet de ces impuretés sur les phénomènes d'écaillage et de recristallisation d'une façon plus détaillée.

De même suivant leurs nature, ces impuretés peuvent avoir des influences différentes sur la conductibilité électrique. Nous résumons sur le tableau suivant l'effet de chaque impureté sur la conductibilité électrique de l'aluminium, cet effet est illustré par la figure 1.

Tableau 7

Effet des impuretés sur la conductibilité électrique de l'aluminium (\*).

élément	Teneur (%)	Diminution de la conductibilité en % cu.	
		état recuit	état écaillé
Fe	0 - 0,2	0,064	0,082
	0,2 - 1	0,014	0,012
	0 - 0,05	0,16	0,18
	0,05 - 0,08	0,11	0,16
	0,08 - 0,12	0,012	0,14
	0,12 - 0,7	0,085	0,14
Si	0,7 - 1	0,085	0,07

(\*) Cette diminution correspond à une augmentation de 0,01% Fe et de 0,01% Si.

Tableau 8

Effet des impuretés sur la conductibilité de l'aluminium.

élément	Teneur limite (%)	Diminution de la conductibilité en % cu pour 0,01% impureté
Influences néfastes	Cr 0 - 0,015	0,84
	0 - 0,15	1,00
	Mn 0 - 0,25	0,75
	Ti 0 - 0,025	0,75
	V 0 - 0,04	0,85 - 1,00
	Mg 0 - 1,25	0,03
	Cu 0 - 0,25	0,04
Influences très faibles	Zn 0 - 0,1	0,03
	0,25 - 1,25	0,02

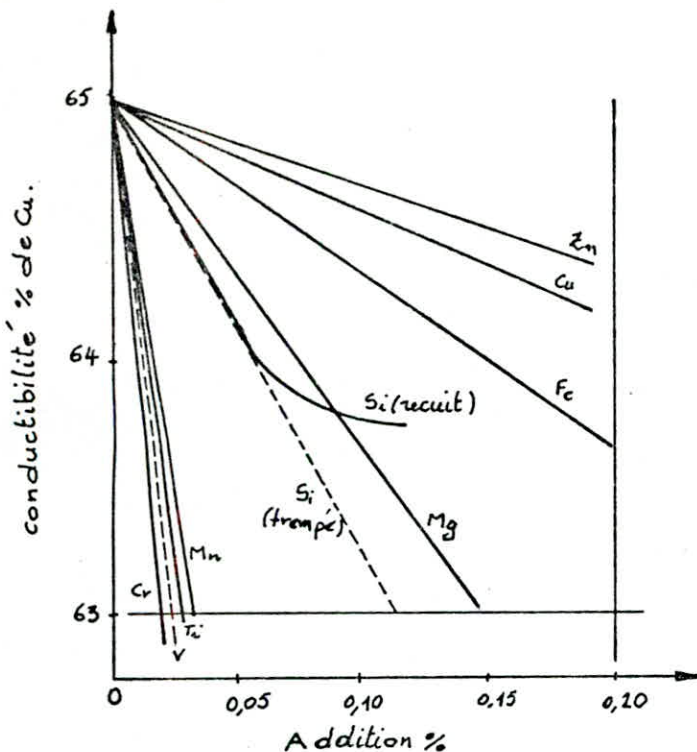


Fig. 1. - Influence des additions sur la conductibilité électrique de l'aluminium à 99,99 % (d'après PECHINEY)

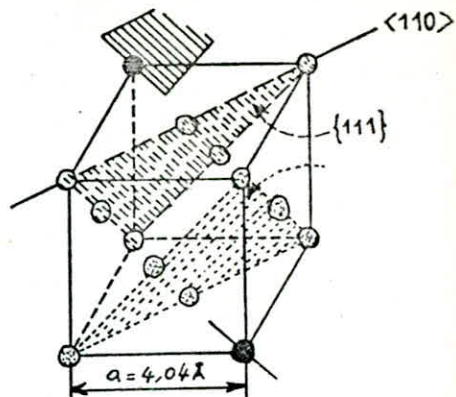


Fig. 2. - Structure cubique à faces centrées de l'aluminium.  
Une famille de plans compacts est hachurée

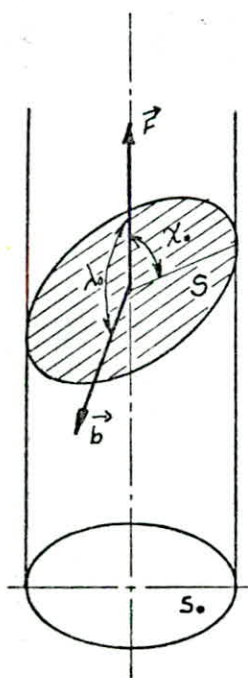


Fig. 3. - Déformation d'un monocristal

$\alpha$  : angle de la direction de l'effort avec le plan de glissement

$\lambda$  : angle de la direction de l'effort avec la direction de glissement

$\vec{b}$  : vecteur de Burgers des dislocations

$s$  : direction de glissement (vecteur de Burgers  $\vec{b}$ )

$s_0$  : section normale à la direction de l'effort.

## CHAPITRE II

Ecoulement et recristallisation des  
métaux cubiques à faces centrées

## 2.1 - Déformation plastique

### 2.1.1 - Déformation d'un monocristal

La déformation plastique d'un cristal de structure FCC se produit, à la température ambiante, par le mécanisme de glissement : sous l'action de contraintes appliquées, les dislocations contenues dans le cristal se déplacent suivant les familles de plan {111} et suivant les directions <110> qui sont respectivement les plans et les directions de glissement du système cubique à faces centrales (fig 2). Cette structure est caractérisée par une grande ductilité et un appréciable durcissement d'écrasement. Ces propriétés résultent de l'existence de 12 systèmes de glissement. Chaque système étant constitué d'un plan et d'une direction de glissement (quatre plans {111}, trois directions <110> par plan).

À l'échelle macroscopique, le glissement de nombreuses dislocations se traduit par un déplacement de diverses tranches parallèles du cristal les unes par rapport aux autres, suivant la direction de glissement qui est celle du vecteur de Burgers des dislocations. En fait, cette déformation ne commence que pour une certaine valeur finie de la contrainte appliquée : c'est la composante tangentielle de cette dernière, appelée tension réduite, qui s'exerçant parallèlement à la direction <110>, dans le plan {111} est responsable du glissement. En effet, d'après la loi de Schmid, le glissement ne s'amorce que lorsque cette contrainte atteint une valeur  $\tau_0$  (indépendante de l'orientation de l'axe de la contrainte appliquée).

La contrainte appliquée est définie par la relation suivante :

$$\tau = \sigma \sin \chi \cos \lambda$$

(1)

Le terme  $\sin \chi \cos \lambda$ , appelé facteur de Schmid, dépend de l'orientation du cristal par rapport à l'axe de la contrainte (fig. 3). Dans le cas du système CFC, pour lequel plusieurs systèmes de glissement sont possibles, ce facteur varie de 0,28 à 0,5.

Schmid a montré que les premiers glissements commencent à apparaître lorsque la cission réduite  $\tau$  atteint la valeur  $\tau_0$ . Aussi, dans un cristal soumis à une traction, les plans cristallographiques les plus favorablement orientés (pour lesquels  $\tau$  est maximale, donc  $\sin \chi \cos \lambda$  maximal), commencent à donner lieu à des glissements. Ce qui explique qu'en plus du glissement le cristal subit une rotation des bandes de glissement dans lesquelles il y a des (distortions) distorsions locales du réseau.

La déformation d'un monocristal se développe successivement suivant trois stades distincts (fig. 4).

Stade I : stade de glissement facile :

Ce stade correspond à un écoulement plastique lamellaire dans lequel un seul système de glissement est actif. L'étendue de ce domaine dépend de la pureté du métal, de la température de l'essai et de l'orientation du cristal.

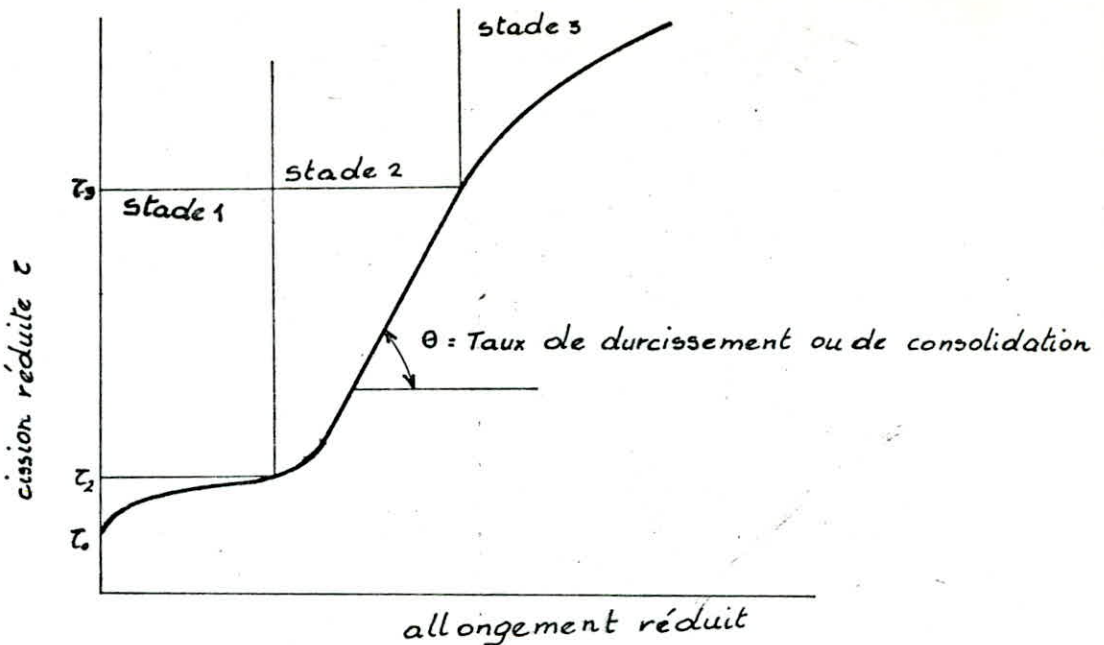


Fig. 4 .- Courbe de consolidation d'un monocristal CFC  
Définition des trois stades de déformation

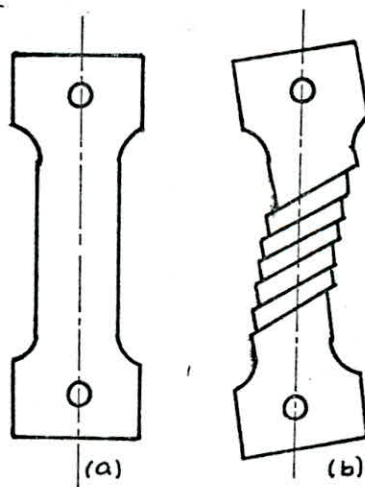


Fig. 3 bis. - Déformation d'une éprouvette monocristalline (a)  
par un glissement (b) en traction.

Le maintien de l'alignement des têtes d'amarrage entraîne une rotation des plans de glissement par rapport à l'axe de déformation.

## Stade II : Domaine de durcissement linéaire ou rapide

Pendant ce stade de la déformation, le durcissement est d'un ordre de grandeur au moins supérieur au durcissement et un glissement facile. Il correspond à un écoulement plastique turbulent dans lequel apparaît un deuxième système de glissement.

## Stade III : Domaine du durcissement parabolique.

A partir d'une certaine valeur de la contrainte appliquée, la consolidation (définie par la valeur de la pente de la courbe  $\frac{d\epsilon}{d\varepsilon}$ ) décroît avec la déformation jusqu'à la rupture R.

Dans ce stade des glissements déviés apparaissent.

### 2.1.2 Influence de la température

Un abaissement de la température entraîne les phénomènes suivants :

- a - une décroissance de la limite élastique
- b - une croissance très rapide de  $T_{100}$  à laquelle commence le stade III, au point qu'à haute température le stade II peut disparaître complètement pour l'aluminium,
- c - une diminution de l'extension du stade I
- d - une très faible variation du durcissement dans le stade III

### 2.1.3. Influence de l'orientation

L'influence de l'orientation est surtout sensible pour le stade I où le glissement sur un seul système provoque la rotation du cristal.

### 2.1.4 - Déformation des polycristaux

Un monocristal peut se déformer au moins au début, par glissement sur un seul système. La forme se modifie en accord avec ce mécanisme. La déformation d'un polycristal est plus complexe : un cristal pris dans un agrégat polycristallin n'a pas les mêmes possibilités car il est soumis aux contraints de ses voisins et ne peut se déformer d'une manière quelconque. Les grains voisins, diversement orientés, tendent à se déformer différemment et la nécessité de maintenir la cohésion entre grains voisins impose des restrictions à cette déformation.

#### Rôle des joints de grains

En plus de la désorientation des grains voisins qui rend la déformation hétérogène, les joints de grains font apparaître des glissements pleins et des distorsions à leurs voisinages, quand ils sont traversés par les dislocations.

En arrivant au voisinage d'un joint de grains, les lignes de glissement du système principal peuvent prendre les aspects suivants :

- elles peuvent traverser les joints en subissant simplement une déviation,
- lorsque les systèmes de glissement dans les deux grains n'ont aucune

relation entre eux, les distorsions qui apparaissent près du joint déclenchent des glissements suivants des systèmes secondaires.

Au cours de la déformation d'un polycristal, un dépassement de la contrainte critique se produit seulement dans les cristaux d'orientation telle que leur direction préférentielle de glissement coincide parfaitement ou presque parfaitement avec une direction de cisaillage maximum. Les glissements dans ces monocristaux sont bloqués aux joints.

Au début de la déformation plastique, les grains différemment orientés prennent l'un après l'autre, part au glissement. La déformation peut ainsi être appréciable et atteindre la limite de proportionnalité apparente sans que de nombreux monocristaux, composant l'agrégrat n'aient participer en rien à cette déformation. Ce phénomène explique l'hétérogénéité de la déformation plastique dans les polycristaux.

#### 2.1.5 Écoulement par traction

L'application d'un effort de traction parallèlement à l'axe d'une éprouvette d'aluminium, a pour effet un allongement de celle-ci dans la direction de l'effort appliqué. L'éprouvette s'allonge d'abord de façon élastique et réversible : l'effort exercé croît proportionnellement à la déformation et si l'on cesse ce dernier, l'éprouvette reprend ses dimensions initiales.

La déformation plastique ne commence que lorsque la contrainte appliquée a dépassé un certain seuil, la limite élastique. Au delà de cette limite la

déformation est permanente. Elle subsiste même si l'effort est annulé. Les glissements locaux dans chaque grain de l'éprouvette provoquent une diminution de section. Cette diminution est compensée par le relèvement local de la limite élastique. Ce qui entraîne une meilleure résistance à la déformation de cette partie, que dans les parties voisines. Les glissements ultérieurs se produisent dans les autres sections. L'éprouvette garde ainsi sa cylindrité ou sa planité au cours de la période des allongements répartis. L'écrasissage entraîne donc un accroissement de la limite élastique et par conséquent un durcissement ou une consolidation du métal. Ce phénomène est très marqué dans les métaux cfc comme le montre la figure 5.

D'après KOCHENDÖRFER et DEHLINGER la consolidation du polycristal est due aux glissements et aux défauts bloqués dans les joints. Les dislocations et les défauts peuvent être effacés par l'agitation thermique [4].

En poursuivant la déformation, l'étranglement s'accentue et il arrive un moment où l'allongement cesse d'être uniformément réparti et une striation apparaît dans une région où la diminution de la section ne compense plus le durcissement. En effet la striation apparaît s'il y a distribution non uniforme soit de la section, soit du taux de consolidation, soit de la température ou des impuretés et défauts le long de l'éprouvette.

#### 2.1.6. Forme des courbes de traction

##### a. Dans le cas des monocristaux :

D'après la figure 6, après glissement l'axe AB du monocristal a tourné en  $AB'$  et ses angles ont varié. La cission peut être calculé directement en fonction de l'orientation initiale de l'axe et de l'allongement.  $E = \frac{\Delta l}{l_0}$  dont  $\Delta l$  étant respectivement l'accroissement de la longueur et de la longueur initiale du monocristal.

Dans le cas du glissement simple :

$$c = \frac{F}{S_0} \frac{\sin \chi_0}{1+E} \sqrt{(1+E)^2 - \sin^2 \lambda_0} \quad (2)$$

la déformation considérée est le déplacement relatif de deux plans séparés d'une distance limite. C'est le glissement cristallographique,

$$y = \frac{BB'}{AN} = (1+e) \frac{\sin(\lambda_0 - \lambda)}{\sin \chi_0 \sin \lambda_0} \quad (3)$$

$$y = \frac{\sqrt{(1+e)^2 - \sin^2 \lambda_0} - \cos \lambda_0}{\sin \chi_0} \quad (4)$$

qui tend au faibles déformations vers la valeur

$$y = \frac{e}{\sin \chi_0 \cos \lambda_0} \quad (5).$$

Si plusieurs systèmes de glissements sont actifs, la rotation du réseau est plus compliquée.

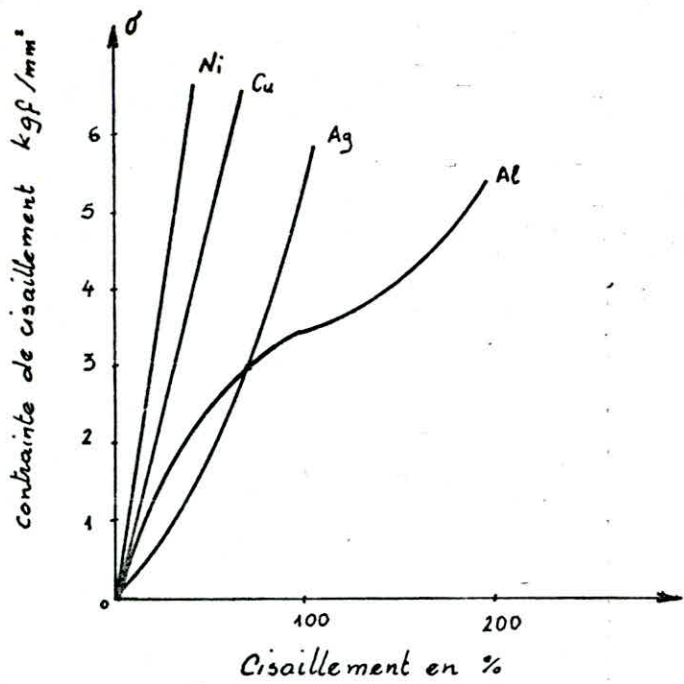


Fig. 5. - Courbe contrainte-cisaillement relative à des monocristaux  
(d'après SCHMID et BOAS).

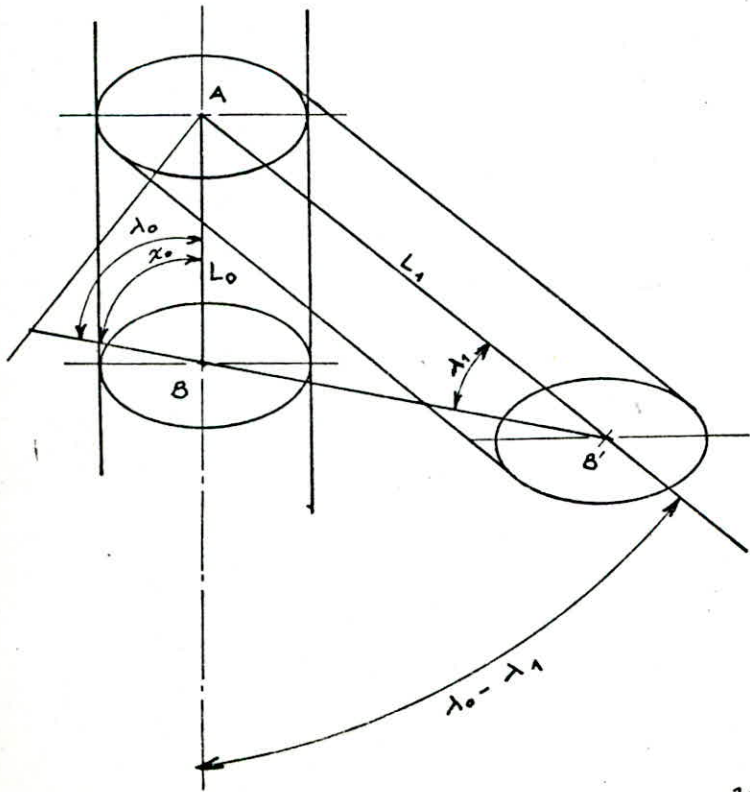


Fig. 6. - Glissement et rotation  
dans un monocristal [2]

b - Dans le cas des agrégats polycristallins

La déformation rationnelle est

$$\varepsilon = \ln \frac{l}{l_0} = \ln \frac{s_0}{s} = \ln \left( 1 + \frac{\Delta l}{l_0} \right) \quad (6)$$

Ceci suppose la constance du volume au cours de la déformation

$$V = l \cdot s = s_0 \cdot l_0 \quad \text{et} \quad s_0 = s + s \frac{\Delta l}{l_0}$$

la contrainte rationnelle est définie par

$$\sigma = \frac{F}{s} \quad \text{où } F \text{ est la charge appliquée.}$$

Une variation de la charge  $F$  entraîne une déformation de valeur  $d\varepsilon$  de l'éprouvette :

$$\frac{dF}{dl} = \sigma \frac{ds}{dl} + s \frac{d\sigma}{dl} \quad (7)$$

à la traction  $dF=0$ , d'où  $\sigma ds + s d\sigma = 0$

$$\text{ou} \quad \sigma - \frac{d\sigma}{d\varepsilon} = 0 \quad (8)$$

$$\text{car} \quad d\varepsilon = - \frac{ds}{s}$$

Enfin tenant compte de la vitesse de déformation  $\dot{\varepsilon} = \frac{d\varepsilon}{dt}$ , Rossand déduit la condition de traction suivante :

$$\sigma - \frac{\partial \sigma}{\partial \epsilon} - 2 \dot{\epsilon} \frac{\partial \sigma}{\partial \dot{\epsilon}} = 0 \quad (9)$$

Pour interpréter ces courbes de tractions, certaines expressions analytiques ont été proposées telle que celle de LÜDWIK

$$\sigma = \sigma_0 + K \epsilon^n \quad (10),$$

et celle de HOLLOWAY

$$\sigma = K' \epsilon^{n'} \quad (11)$$

$n$  et  $n'$  coefficients d'écrasement  
 $K, K'$ , constantes.

## 2.2. Recristallisation

### 2.2.1. Recuit de recristallisation

Lorsqu'un métal est soumis à froid à une déformation mécanique permanente sa structure subit des modifications de telle façon que, comme nous le verrons plus tard, la recristallisation initialement désordonnée s'orienté suivant des directions préférentielles dépendant de la nature du métal et du type de la déformation appliquée. Cet état est caractérisé par l'introduction d'un grand nombre de dislocations et leurs concentrations ainsi que les lacunes et les atomes intersticiels aux niveaux des joints de grains. Ce qui augmente l'énergie libre du système et le rend thermodynamiquement instable.

En conséquence, l'écrasissage entraîne un abaissement de la plasticité, de la conductibilité électrique et de la résistance à la corrosion du métal. Afin de restaurer au métal ses propriétés d'équilibre, surtout sa malleabilité, il faut éliminer ses défauts et ceci, d'après, d'après le premier principe de la thermodynamique, se produit sous l'effet de l'agitation thermique. La cinétique de la restauration dépend donc de la température. D'où l'existence d'une énergie d'activation.

## 2.2.2 Etapes de recristallisation

### 1. Restauration

Au-dessus de 20°C, la plasticité croît avec la température; les "tensions macrographiques", ou macrotensions, disparaissent sans que la structure subisse de modifications. La plasticité du métal augmente avec la décroissance de la limite élastique et de la résistance à la rupture, et l'augmentation de l'allongement. Pour l'aluminium, ces variations deviennent très sensibles au-dessus de 100°C. Le motif d'orientation de l'état écrasé est sensiblement conservé. L'adoucissement est d'autant plus complet que la température s'élève, ou que la durée de traitement se prolonge à une température déterminée (figure 7).

### 2.. Polygonisation

Le maintien du métal à une température supérieure à celle de la restauration mais inférieure à celle de la recristallisation permet de constater

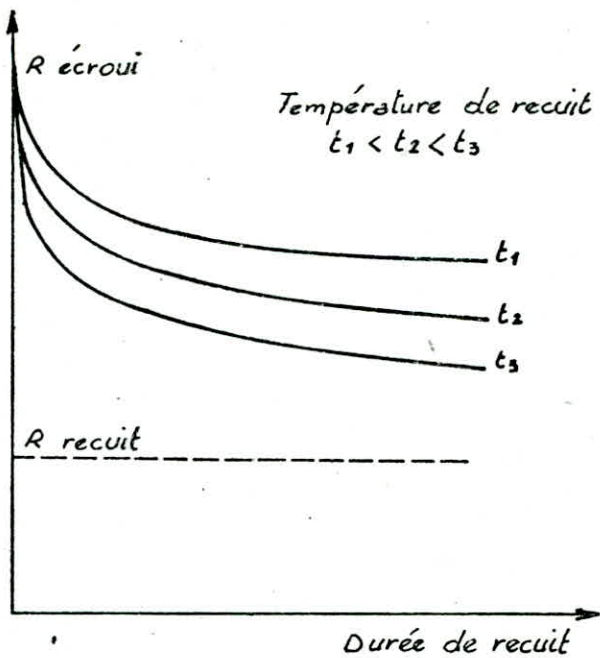


Fig. 7.-Allure des variations de la charge à la rupture en fonction de la durée de recuit pour différentes températures.

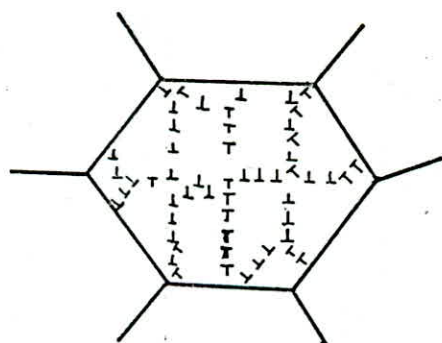


Fig. 9.-Groupement des dislocations en parois de polygonisation à l'intérieur d'un monocristal (schéma).

Ces parois délimitent des sous-grains, légèrement désorientés les uns par rapport aux autres.

une modification des propriétés physiques. Modifications très faibles pour les métaux d'assez faible énergie de défauts s'empilent, plus marqué pour les métaux de dislocations mobiles tels que l'aluminium (fig 8). Ces modifications résultent de celle de la structure par redistribution des dislocations en un réseau de plus faible énergie sans diminution sensible de leur nombre. Les dislocations forment des réseaux dans leurs plans de glissement. L'énergie de ces réseaux est égale à la somme des énergies de dislocations et de l'énergie due à la répulsion des dislocations dans leurs plan de glissement communs. La polygonisation commence par la montée des dislocations qui quittent leurs plans de glissement. Elle se poursuit par un glissement des dislocations de faible énergie. Ce qui explique l'apparition, à l'intérieur des grains, de sous joints (fig 9).

### 3. Recristallisation primaire.

La recristallisation primaire est un phénomène de germination et croissance de grains. La déformation plastique crée un état de tension hétérogène comprenant des régions de haute capacité énergétique (où se concentre l'énergie des dislocations) qui jouent le rôle de germes et des régions de faible capacité énergétique qui seront absorbées par la croissance des germes. Ainsi la recristallisation primaire ne peut se produire si la déformation plastique atteint une valeur minimum pour former les germes potentiels. Cette valeur minimum est appelé écrouissage critique sa valeur est environ 2% pour l'aluminium. La recristallisation est un phénomène qui dépend de la pureté, du degré de déformation, de la température et de la durée de recuit. Au dessous d'une température déterminée  $T_c$  appelée température théorique de recristallisation, elle

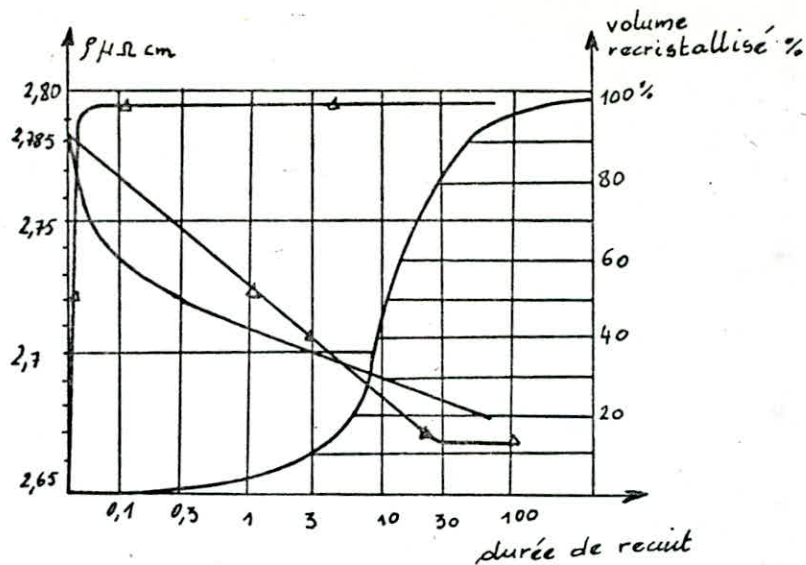


Fig. 8.- Evolution de la résistivité électrique et de la fraction volumique recristallisée en fonction du temps de maintien à 300 °C et à 500 °C.  
Alliage d'aluminium raffiné contenant 450 ppm de Fer en solution solide, laminé à froid.

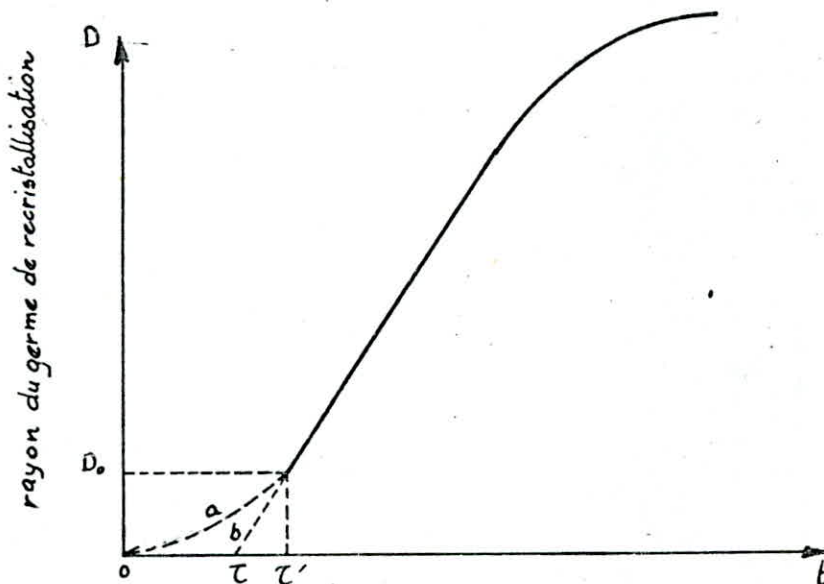


Fig. 10.- Durée de recuit de recristallisation (d'après B. CHALMERS)

$D_0$  : rayon critique du germe .

$\tau$  : temps d'incubation à partir duquel la vitesse de germination devient constante .

ne se produit pas.  $T_R$  varie de 0,4 à 0,5  $T_f$  avec  $T_f$  la température de fusion. Au début de la transformation, seuls un certains nombre de germes, commencent à croître. Après un temps d'incubation tous les germes, croissent à vitesse constante (fig 10). A partir du temps d'incubation le nombre de germes reste constant.

#### 4.. Recristallisation secondaire

Si l'échauffement se produit ou si l'on augmente le temps de maintien après la recristallisation primaire, certains grains se développent au dépend des autres en envahissant le motif de recristallisation primaire et se traduisant finalement par une hypertrophie granulaire spécialisée et générante. Cette recristallisation s'amorce lorsqu'il s'établit des contacts entre les germes. Ce phénomène est favorisé dans le cas des écouissages élevés et se produit facilement dans le cas de l'aluminium de pureté courante.

#### 5.. Compétition entre polygonisation et recristallisation dans l'aluminium.

L'addition d'une faible quantité de certains atomes étrangers dans le réseau de l'aluminium suffit pour empêcher la polygonisation; dans ces conditions, la recristallisation sous forme de gros cristaux devient possible.

Certaines impuretés comme le fer permettent de bloquer les dislocations suffisamment pour que la recristallisation après écouissage critique puisse

se développer complètement.

Enfin signalons que l'état faiblement écroui favorise la polygonisation et l'état fortement écroui favorise la recristallisation.

### 2.2.3 Recristallisation de l'aluminium.

Il existe deux possibilités d'éliminer les distorsions du réseau caractéristiques de l'état fortement écroui : le recuit complet (de recristallisation) ou le recuit de restauration.

#### 2.2.3.1 Élimination des défauts de structure du réseau cristallin

Un système dans un état énergétiquement élevé tend toujours à passer à un état de moindre énergie. Or une partie de l'énergie employée lors de la déformation à froid est emmagasinée sous forme de dislocations et autres défauts du réseau cristallin. Pour éliminer ce surplus d'énergie, les atomes déplacés doivent réoccuper les (vieux) sites du réseau. Mais aussi longtemps que leur mobilité est réduite (aux températures inférieures à 100°C par exemple) l'élimination des défauts de structure engendrés par la déformation à froid progresse lentement et reste incomplète. Dans la plage de 100°C à 250°C, la mobilité des atomes devient suffisante pour que, grâce aux sauts atomiques, s'annihilent dans le temps techniquement acceptables environ la moitié des défauts de structure (restauration). Aux températures plus élevées (au-dessus du seuil de recristallisation) il se forme des germes autour desquels les atomes s'organisent pour constituer de nouveaux cristaux pratiquement exempts de défauts.

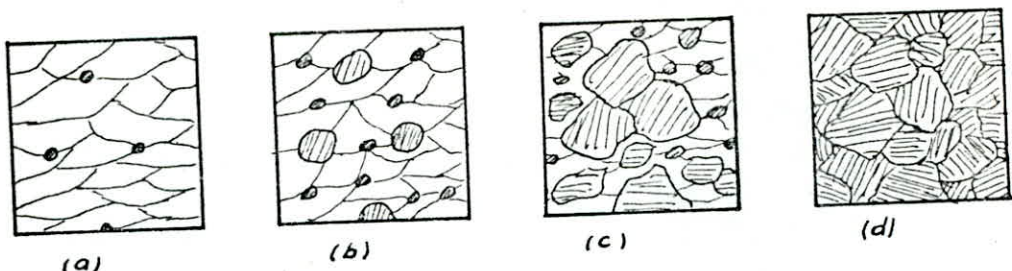


Fig. 11. - Schématisation de la germination et croissance lors de la recristallisation. a-d sont des instantanés à température constante, correspondant à des temps de recuit croissants.

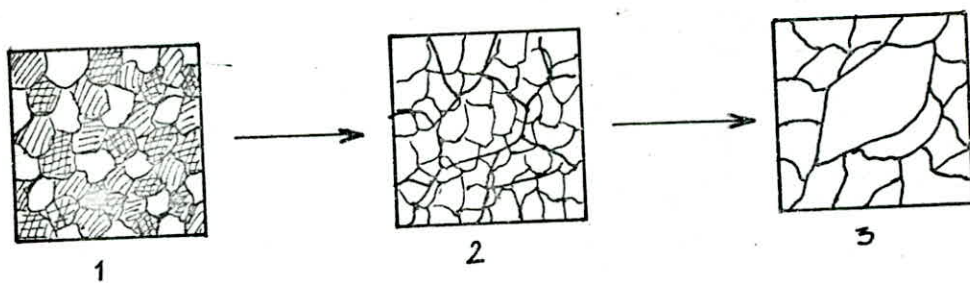


Fig. 12. - Schématisation de la recristallisation primaire et grossissement du grain d'une tôle déformée à froid par laminage. (d'après G. Masing).

La figure 11 schématise la germination et croissance lors de la recristallisation. a-d sont des instantanés à température constante, correspondant à des temps de recuit croissants.

- a. Quatre germes de recristallisation sont apparus dans le métal déformé (peu après que la température de recristallisation ait été atteinte).
- b. De nouveaux germes se forment, tandis que les premiers croissent.
- c. Les germes continuent à croître. Certains grains recristallisés se touchent déjà, et leur croissance est ainsi arrêtée.
- d. La recristallisation primaire est complète. La structure écrasée a fait place à une structure "de recristallisation".

#### 2.2.3.2 - Obtention de l'état "recuit" par recristallisation

Pour faire passer un métal déformé à froid (par exemple une tôle plate de laminage) à l'état "recuit", on doit le chauffer à une température élevée pendant un temps variant, selon la construction du four et d'autres paramètres, de quelques minutes à quelques heures. Pour l'aluminium, on choisit en général une température comprise entre 300 et 400 °C.

Lors d'un tel traitement thermique se produit le phénomène de la "recristallisation": de nouveaux cristaux se forment à l'état solide (tout comme les cristaux de fonte se développent à partir du métal liquide). Le phénomène

de la recristallisation présente certaines analogies avec la cristallisation du métal liquide.

La figure 11 montre comment des germes de recristallisation apparaissent au sein du métal fortement déformé, germes à partir desquels se développent de nouveaux cristaux relativement exempts de défauts. Si l'on interrompt le processus après quelques secondes (par refroidissement de l'échantillon), on obtient l'image suivante : quelques grains de recristallisation se sont développés et au dépens de leur\* entourage à l'état écrasé, alors que la plus grande partie du métal n'est pas encore recristallisé (fig 11b). Plus le traitement thermique se prolonge, plus la recristallisation progresse, jusqu'à ce que finalement tout le métal soit constitué de grains recristallisés.

La vitesse de recristallisation augmente avec la température par suite de la mobilité accrue des atomes. En fait la recristallisation se produit (pour une durée de traitement thermique donnée) que lorsque la température de recuit dépasse un seuil déterminé, le "seuil de recristallisation".

### 22.3.3 Seuil de recristallisation

Il dépend des facteurs suivants :

a - éléments d'addition : la température de recristallisation augmente avec la teneur en Mn, Fe, Zn ou Cr dissous ou finement dispersé.

b - durée du traitement : plus celui-ci est court, plus le seuil de recristalli-

isation est élevé. Une tôle d'aluminium très fortement écrasée recristallise par exemple :

- à  $500^{\circ}\text{C}$  en quelques secondes
- à  $380^{\circ}\text{C}$  en quelques minutes
- à  $280^{\circ}\text{C}$  en quelques heures,

c. degré d'écrasement : plus l'écrasement est fort, plus le seuil de recristallisation s'abaisse. Pour l'aluminium pur et une durée de traitement de 2 heures, on aurait les températures suivantes : [5]

Tableau 9

degré de déformation à froid en %	Température de recristallisation complète en $^{\circ}\text{C}$
5	500
20	400
40	360
80	320
98	300

La recristallisation à grains grossiers peut se produire pour différentes raisons

o

a - trop faible déformation à froid,

b - échauffement trop lent (en particulier pour les alliages AlMn)

- c. température de recuit trop élevée,
- d. temps de recuit trop long
- e. composition métallurgique défavorable (par exemple teneur en Fe trop faible),
- f. distribution défavorable des atomes étrangers. La plupart du temps, celle-ci résulte d'une sursaturation d'éléments d'addition dans le métal rapidement solidifié ( $Mn$ ,  $Fe$ ) et d'un traitement thermique inapproprié.

#### 2.2.3.4 Recristallisation primaire et grossissement du grain d'une tôle déformée à froid par laminage (Schématiquement d'après G. Masing) figure 12

1.. La "recristallisation primaire" est achevée : il s'est formé une structure de recristallisation, donc tendue. Une attaque chimique permet de constater l'orientation approximativement aléatoire des grains, ce qu'on a fait ressortir sur le dessin.

2.- Le recuit a été poursuivi longtemps ou à plus haute température après la fin de la recristallisation primaire : quelques grains, ayant une orientation propre à favoriser leur croissance, ont grossi aux dépens de leurs voisins.

3.- A la place (ou à la suite) du grossissement du grain peut se produire une recristallisation secondaire, caractérisée par la croissance rapide de quelques grains géants. La recristallisation secondaire apparaît surtout lors de recuits à haute température et de longue durée, notamment lorsque des hétérogénéités dues à la précipitation d'éléments d'addition ne se dissolvent pas simultanément dans les grains voisins.

CHAPITRE III

Morphologie d'écaillage et de  
recristallisation des agrégats polycristallins

### 3.1 Morphologie d'écaillage

Les agrégats polycristallins sont caractérisés par :

- la morphologie des grains c.-à-d leurs taille, forme, elongation, etc...
- la texture des grains : ensemble des orientations cristallographique des grains.

La morphologie et la texture dépendent :

- du type de déformation ( laminage, filage, traction, amboutissage, ... ),
- des mécanismes de la déformation ( glissement, maclage, ... ),
- de la texture et de la morphologie initiales.

La désorientation des grains et leurs liaisons par des joints (de grains) dans l'aggrégat a pour conséquence, au cours d'une déformation permanente :

1° - la rotation du réseau (imposé pour le maintien de la cohésion) entraîne une fragmentation des grains. Cette fragmentation est d'autant plus poussée que la déformation est importante.

2° - l'intérieur d'un grain de gros diamètre est moins "dur" que celui d'un grain fin.

suivant le type de déformation les grains ont une morphologie bien déterminée.

Une déformation de révolution ( trefilage, étirage, extraction, compression uniaxiale) entraîne l'allongement des grains dans la direction de l'effort. Dans

le cas d'une déformation brinable, comme le laminage par exemple, l'allongement du grain se fait dans deux directions. Cette anisotropie s'accentue au cours de la déformation. Elle s'accompagne d'une fragmentation. Ce qui fait le grain fortement écrasé est très différent, du point de vue morphologie, du grain initial.

### 3.2. Morphologie de recristallisation.

Lors de la recristallisation d'une tôle d'aluminium, il se forme des granaux dont la taille, la forme et l'orientation sont différentes de celles des cristaux de la matrice dans laquelle il se sont développés (fig 11 et 12). Cette morphologie de recristallisation peut être considérée comme la conséquence de la facilité ou de la difficulté avec laquelle les joints limitant les nouveaux grains ont progressé dans la matrice écrasée. En effet, la taille et la forme sont directement liées à la vitesse avec laquelle le joint migre dans les diverses directions cristallographiques. Ainsi l'anisotropie provoquée par l'écrasissage disparaît et laisse place à une forme isotrope ou du moins d'atténue suivant les conditions de recristallisation et de l'état du métal (pureté, degré de déformation).

Pour expliquer la formation de la texture de recristallisation à partir de celle de l'écrasissage, deux théories ont été proposées.

D'après Bürgers et LOUWERSE [6] les textures de recristallisation sont provoquées par des germes de métal écrasé ayant la même orientation que le métal recristallisé. Pour cette théorie appelée "théorie de germination orientée", certaines orientations se développent dans le métal déformé plus rapidement

dans certaines directions que dans d'autres; le déplacement des atomes dans la matrice déformée s'effectue lentement lorsque le nouveau grain possède approximativement la même orientation que la matrice et rapidement lorsque la désorientation est plus importante. Pour la théorie des textures de croissance des grains de recristallisation sont dues à la croissance préférentielle des grains possédant une certaine orientation par rapport à leurs voisins.

Des études faites ont montré que le réseau écrasé et le réseau recristallisé se placent l'un sur l'autre par rotation autour d'un axe commun. Ces deux réseaux ont plusieurs orientations atomiques communes dans le joint qui les sépare. On a trouvé que la mobilité atomique sur ces joints est plus grande que celle des joints ordinaires surtout dans le cas des métaux impurs [7].

CHAPITRE IV

Méthodes expérimentales  
et matériau étudié

L'étude morphologique du grain de recristallisation de l'aluminium a été effectuée par la méthode macrographique.

L'étude des propriétés mécaniques a été réalisée au moyen d'essais de traction et de duréte.

#### 4.1 Prélèvement des échantillons

Le matériau étudié, c'est un aluminium de titre conventionnel 99,5% (A5) provenant de l'unité de la mine de SNS Gué de Constantine.

L'analyse chimique de ce matériau a donné la composition suivante:

Si = 0,38%

Fe = 0,22%

Cu < 0,01%

Mn < 0,01%

Mg < 0,01%

#### 4.2 Réparation des éprouvettes

Les éprouvettes sont des éprouvettes polycristallines, de traction à section rectangulaire de forme allongé, dont les dimensions sont données par la norme AFNOR NF03-251.

La longueur entre repères  $l_0$  (fig 13) des éprouvettes proportionnelles ( $k=5,65$ ) à section rectangulaire a été déterminée par l'abaque (fig 15) dont le

dont le mode d'emploi est le suivant.

L'abaque est tracé par application de la méthode des alignements :

- Sur les échelles latérales, on cherche les points représentant l'épaisseur et la largeur de l'éprouvette.

- Joindre ces deux points par une droite

- A l'intersection de cette droite avec l'échelle centrale, lire la longueur  $L_0$  sur la graduation correspondante. La section  $s_0$  peut être lue au même point sur la graduation de droite.

Dans notre étude les dimensions prises sont les suivantes:

$K$	largeur $l$ (mm)	section $s_0$ (mm $^2$ )	longueur $L_0$ (mm)	longueur calibrée $L_c$ (mm)	longueur totale $L_t$ (mm)
5,65	30	90	52	100	220

Ces éprouvettes ont été réalisées sur une fraiseuse universelle et la finition a été faite à la main au moyen des papiers abrasifs 320 et 600.

#### 4.3 attaque chimique

Deux réactifs d'attaque macrographique, ont été essayés après un décapage préalable de l'alumine ( $Al_2O_3$ ) par une solution de NaOH à 40;

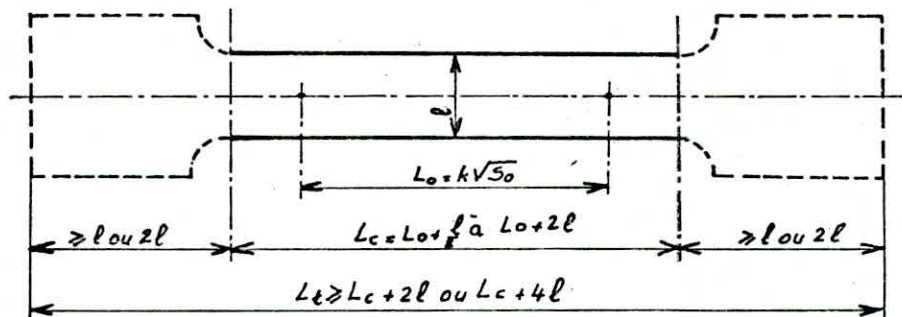


Fig. 13. Éprouvette proportionnelle de traction à section rectangulaire.

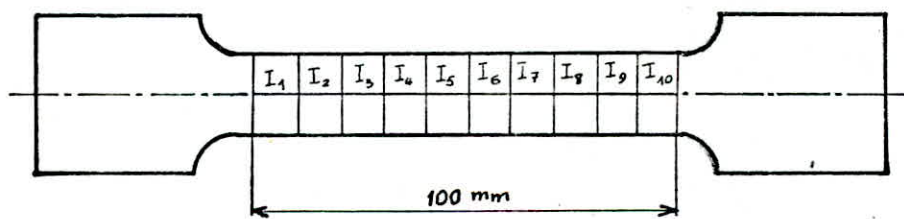
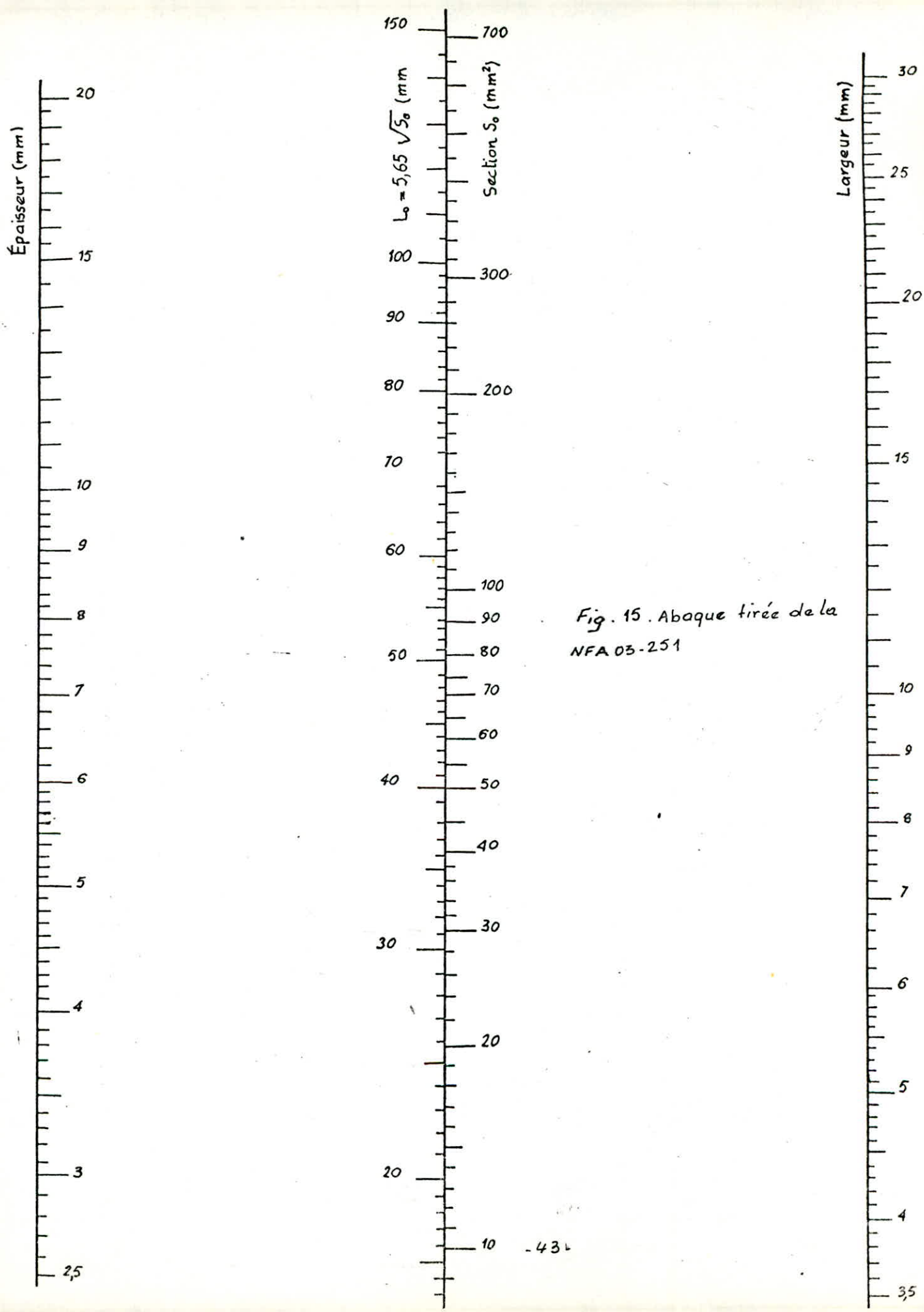


Fig. 14. Modèle type de la préparation des échantillons



- Premier réactif

• HF 0,5% (en masse)

• HCl 1,5%

• HNO<sub>3</sub> 2,5%

• H<sub>2</sub>O 95,5%

- Deuxième réactif

• HNO<sub>3</sub> 1 volume

• HCl 3 volumes

• H<sub>2</sub>O 1 volume

Les meilleurs résultats ont été obtenus en utilisant le deuxième réactif pour une attaque de 15 à 20 secondes.

4.4 - Recuit d'homogénéisation et de recristallisation

Avant toute étude les éprouvettes de traction ont subi un recuit préalable d'homogénéisation à 450°C pendant 3 heures.

Pour déterminer les conditions de recristallisation des échantillons écrasés, des recuits ont été faits à 350, 450, 550 et 600°C pendant 30 et 45 mn. Une recristallisation régulière a été obtenue pour un recuit à 600°C pendant 30 mn.

Les recuits ont été effectués dans un four électrique compact, de marque ETR (fig 16), qui est constitué essentiellement

- du four lui même, avec son laboratoire de travail
- du bloc commandes-régulation sur lequel repose le four
- de régulateur de température

L'œilleton obturable de la porte permet l'observation du laboratoire pendant le fonctionnement, et le passage d'un thermocouple de contrôle.

Le capteur de la température est un thermocouple chromel-Alumel placé dans le laboratoire du four, au voisinage des résistances chauffantes.

Le four peut travailler jusqu'à 1200 °c.

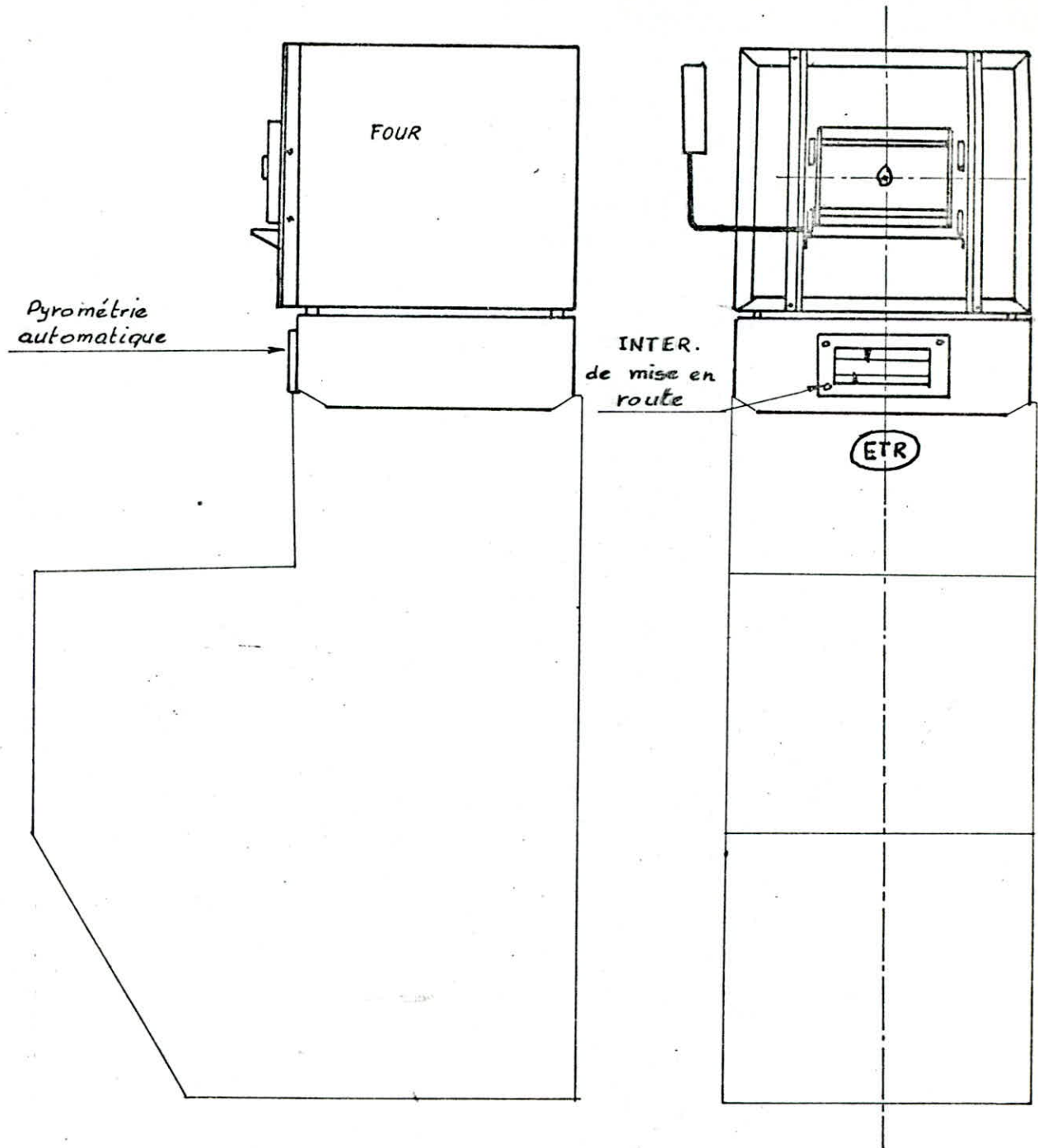


Fig. 16 . - Four ETR

## 4.5 Techniques expérimentales

### 4.5.1 Essai de traction

Nous avons utilisé dans notre étude une machine universelle de traction du type USDR (fig 17) qui permet en appliquant à l'éprouvette une charge croissante à vitesse constante de mesurer simultanément l'accroissement en % de la longueur. La vitesse de l'essai choisie est de 0,5 mm/mm.

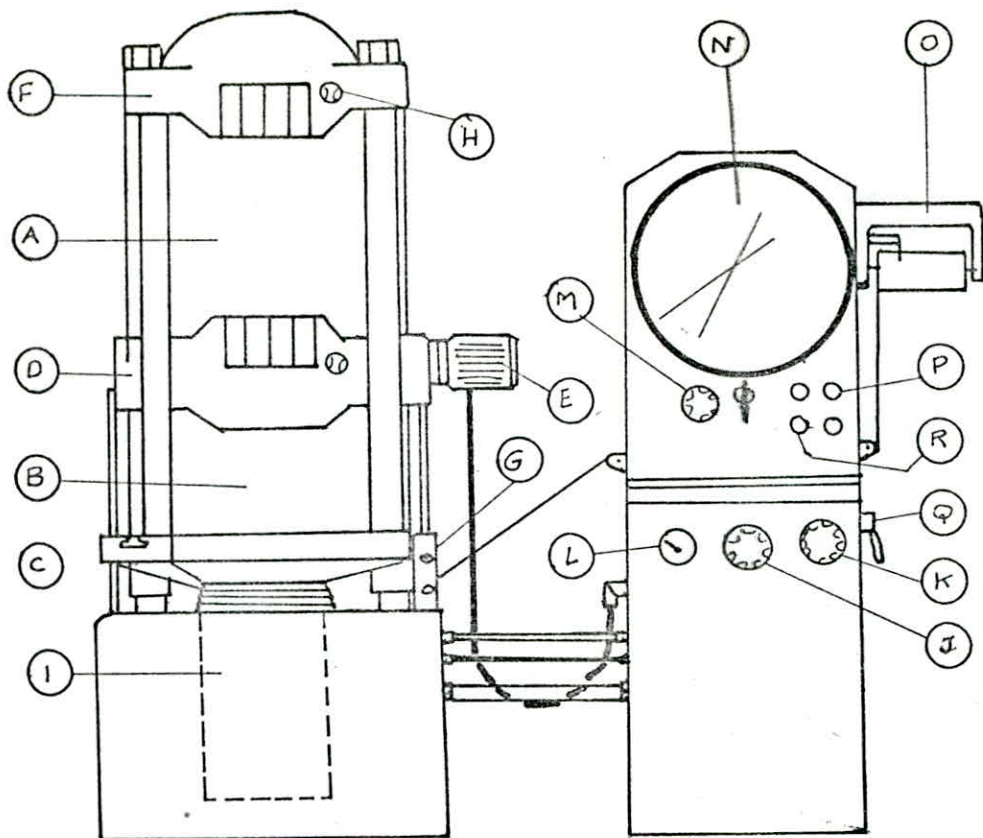
La limite élastique dans notre essai a été mesurée par un extensomètre électronique SKF modèle EL 502.

### 4.5.2 Détermination de l'écrouissage

L'allongement des éprouvettes n'étant pas toujours le même sur toute la longueur, nous avons pris la précaution de le déterminer localement de la manière suivante : nous avons tracé sur l'éprouvette, avant son écrouissage, 11 traits perpendiculairement à l'axe de l'éprouvette régulièrement espacés (l'espacement est d'environ 10mm). Nous avons tracé également un trait confondu avec l'axe de l'éprouvette (fig 14). Les positions relatives de ces repères après écrouissage nous permettent de calculer l'allongement réparti de l'éprouvette.

Pour étudier les variations des dimensions de l'éprouvette au cours de l'essai de traction, nous considérerons les grandeurs suivantes :

$$\Delta \% = \frac{L - L_0}{L_0} \cdot 100, \text{ avec } L_0 \text{ et } L \text{ longueurs avant et après l'essai}$$



LEGENDE

Poste de travail

- A - Emplacement pour essais de traction
- B - Emplacement pour essais de compression, flexion, pliage, bilage, flambage
- C - Traverse inférieure
- D - Traverse intermédiaire
- E - Moteur de traverse
- F - Traverse supérieure
- G - Commande électrique de traverse mobile
- H - Commande serrage des mors
- I - Vérin

Poste de commande DR

- J - Réglage des charges
- K - Réglage de la vitesse
- L - Commande manuelle "décharge", stop, charge
- M - Commande changement de sensibilité
- N - Cadran indicateur avec aiguille maxi
- O - Enregistreur allongement
- P - Pompe MARCHE ARRET
- Q - Séctionneur général
- R - Commande "charge Décharge"

Fig. 17 .- Machine universelle de traction  
Type U5 DR.

- la contrainte conventionnelle :

$$F = Q/s_0$$

$Q$  étant la charge maximale appliquée  
 $s_0$  la section initiale.

Les déformations rationnelles se déduisent de la manière suivante :

- la déformation longitudinale

$$\epsilon_l = \ln \frac{L_l}{L_0} = \ln \frac{L_0 + \Delta L}{L_0} = \ln(1 + A)$$

- les déformations transversales

$$\epsilon_t = \ln \frac{t}{t_0} \text{ suivant la largeur}$$

$$\epsilon_e = \ln \frac{e}{e_0} \text{ suivant l'épaisseur}$$

- la contrainte rationnelle :

$$\sigma = \frac{Q}{s} = \frac{Q}{s_0} (1 + A) = F (1 + A) , s \text{ est la section instantanée}$$

#### 4.5.3 - Essai de dureté

Dans notre étude nous avons préféré utiliser la microdureté Vickers pour la précision des résultats qu'elle permet d'obtenir.

Le microduromètre est caractérisé par la forme pyramidale à base, carré avec un angle de  $136^\circ$  (fig 18) de son pénétrateur en diamant.

La dureté s'exprime par un nombre d'unité vickers obtenu par la relation ci-dessous :

$$H_V = \frac{P}{S} \quad (P \text{ est exprimé en kg force})$$

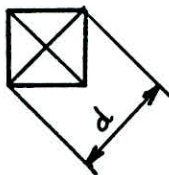
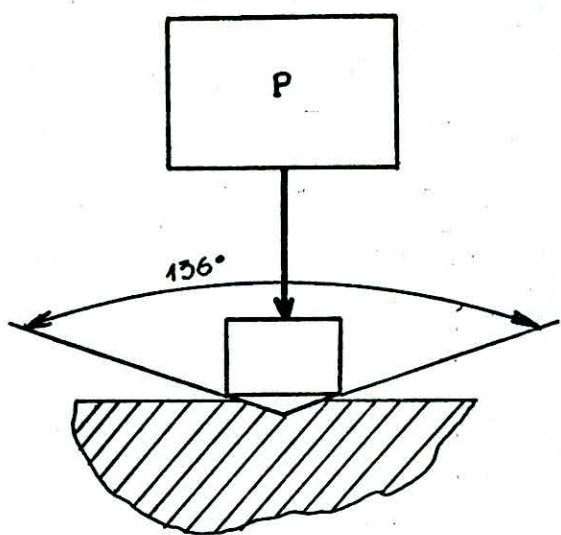
$S$  représente la surface latérale de l'empreinte et peut s'exprimer en fonction de la diagonale " $d$ " du carré de la base de l'empreinte pyramidale lorsque la charge est supprimée.

$$S = \frac{d^2}{2 \sin 68^\circ}$$

$$\text{d'où } H_V = \frac{2 P \sin 68^\circ}{d^2} = 1,8544 \frac{P}{d^2}$$

L'essai a été fait sur des échantillons prélevés des épreuilles étudiées, enrobés à froid et polis au papier émori

La charge de l'essai est de 200 gr.



*Fig. 18. Pénétrateur Vickers*

#### 4.5.4 Etude de la morphologie du grain

L'étude étant macrographique et son domaine est celui des faibles déformations allant de 0 à 10%. La méthode utilisée est l'étude de l'évolution de la taille et de la forme des grains par observation directe et par le calcul des dimensions des grains dans deux directions : direction parallèle à celle de la traction et la direction perpendiculaire à la contrainte.

CHAPITRE V

Résultats expérimentaux  
et interprétations

## 5.1 Étude morphologique de la structure de recristallisation

Pour les petites déformations, nous obtenons des grains grossiers, qui s'allongent dans le sens de la traction avec une répartition non homogène de la morphologie. Ce n'est qu'à partir d'une déformation supérieure à 4% que les grains ont tendance à devenir isotropes et la morphologie de ces derniers commence à se répartir d'une façon homogène. À partir d'une déformation supérieure à 7% les grains de recristallisation s'affinent et deviennent isotropes. Leur répartition morphologique devient homogène (fig. 19).

### 5.1.1 Détermination du seuil de recristallisation

Une étude de la recristallisation à 550 °C en fonction du temps de maintien montre que pour une éprouvette déformée à 4%, la formation de petits germes de recristallisation apparaît après 15 minutes. Cette germination continue et s'accompagne de la croissance des germes jusqu'à un durée de 35 minutes.

### 5.1.2 Influence de l'écrassage sur la morphologie du grain de recristallisation

L'écrassage appliqué pour étudier la morphologie du grain de recristallisation dans notre cas est introduit par l'essai de traction.

Le taux d'écrassage représenté sur le tableau 10 représente la moyenne des allongements répartis le long de l'éprouvette de traction. De même pour le calcul du nombre de grains par cm<sup>2</sup>, nous avons pris plusieurs plages et nous avons la moyenne.

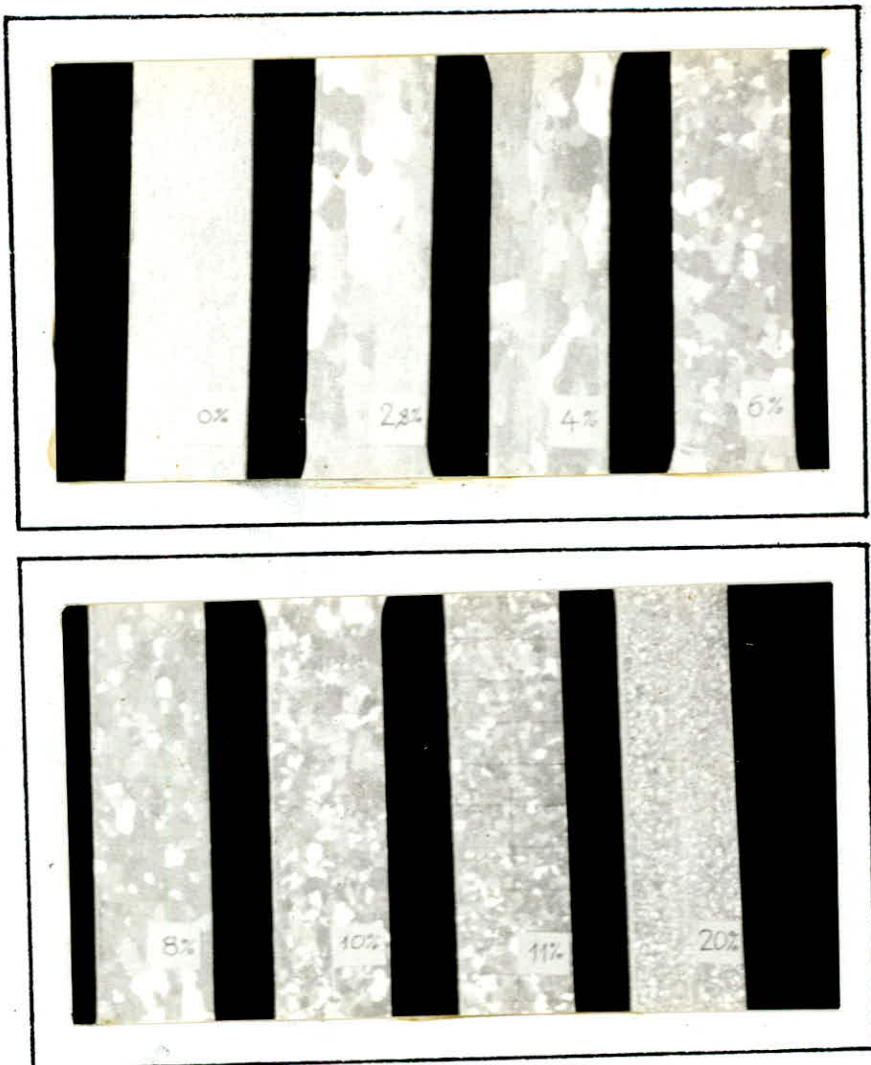


Fig. 19 .. Evolution du grain de recristallisation de l'aluminium (A5) après différents écouissages.

**Tableau 10**

Éprouvettes recristallisées à 600°C pendant 30mn après écrasement par traction

E prouvette N°	1	2	3	4	5	6	7	8	9	10
$\frac{\Delta L}{L_0} \cdot 100$	0	2,8	3,89	4,65	6,1	6,8	7,84	8,89	9,88	11,45
$\frac{\Delta l}{l_0} \cdot 100$	0	-0,967	-0,895	-1,28	-1,82	-2,21	-2,63	-2,86	-3,24	-3,43
$\langle n_e \rangle$	/	5	6	13	15	17	22	30	32	34
$\langle d_e \rangle$ (cm)	/	0,6	0,5	0,23	0,2	0,18	0,14	0,1	0,09	0,08
$\langle n_L \rangle$	/	12	16	38	38	66	69	78	87	108
$\langle d_L \rangle$ (cm)	/	0,83	0,62	0,26	0,26	0,15	0,14	0,13	0,12	0,09
$\frac{\langle d_e \rangle}{\langle d_L \rangle}$	/	0,72	0,8	0,87	0,76	1,2	1	0,77	0,75	0,89
$N$ (grains/cm <sup>2</sup> )	/	3	5	20	26	40	51	80	102	115
dureté (Hv)	20,8	23,9	26,6	26,9	29	30,1	/	31	32,5	35,3

$\langle n_e \rangle$  = nombre de grains moyen pour  $l = 3\text{ cm}$

$$\langle d_e \rangle = \frac{l}{\langle n_e \rangle}$$

$$\langle d_L \rangle = \frac{L}{\langle n_L \rangle} \quad \text{avec } \langle n_L \rangle \text{ nombre de grains moyen pour } L = 10\text{ cm}.$$

**Tableau 11**

$\frac{\Delta L}{L_0} \cdot 100$	2	3	4	5	7	8	10
dureté (Hv)	26,3	27,6	29,3	30,1	31,3	32,4	33,4

Echantillons écrasés par traction.

Du tableau 10 nous savons tracer la caractéristique nombre de grains par cm<sup>2</sup> en fonction de l'allongement pour cent (fig. 20). Cette dernière nous permet de constater que le nombre de grains par cm<sup>2</sup> augmente avec l'allongement, alors une réduction progressive de la taille de grain au cours de l'écrasissage. Nous constatons sur la figure 20 que l'augmentation du nombre de grains par cm<sup>2</sup> n'est pas proportionnelle à l'allongement. Au début cette quantité augmente avec une vitesse faible, et plus on augmente le taux d'écrasissage plus la vitesse de formation de nouveaux grains de recristallisation augmente. Donc l'augmentation du nombre de grains de recristallisation n'est pas uniforme au cours de l'écrasissage.

Les courbes, de la figure 21, relatives aux variations des dimensions des grains de recristallisation, dans la direction de traction (suivant la longueur) et dans la direction perpendiculaire à cette dernière (suivant la largeur), en fonction de l'écrasissage, confirment la tendance à l'isotropie du grain de recristallisation.

Pour cela nous remarquons que les graphes représentatifs des courbes  $\langle d_1 \rangle = f\left(\frac{\Delta L}{L_0}\right)$  et  $\langle d_2 \rangle = f\left(\frac{10\Delta L}{L_0}\right)$  ont la même allure et que le rapport  $\frac{\langle d_2 \rangle}{\langle d_1 \rangle}$  oscille autour de la valeur un (1) (fig. 22). Par conséquent il y a une tendance à l'isotropie qui se manifeste au cours de l'écrasissage.

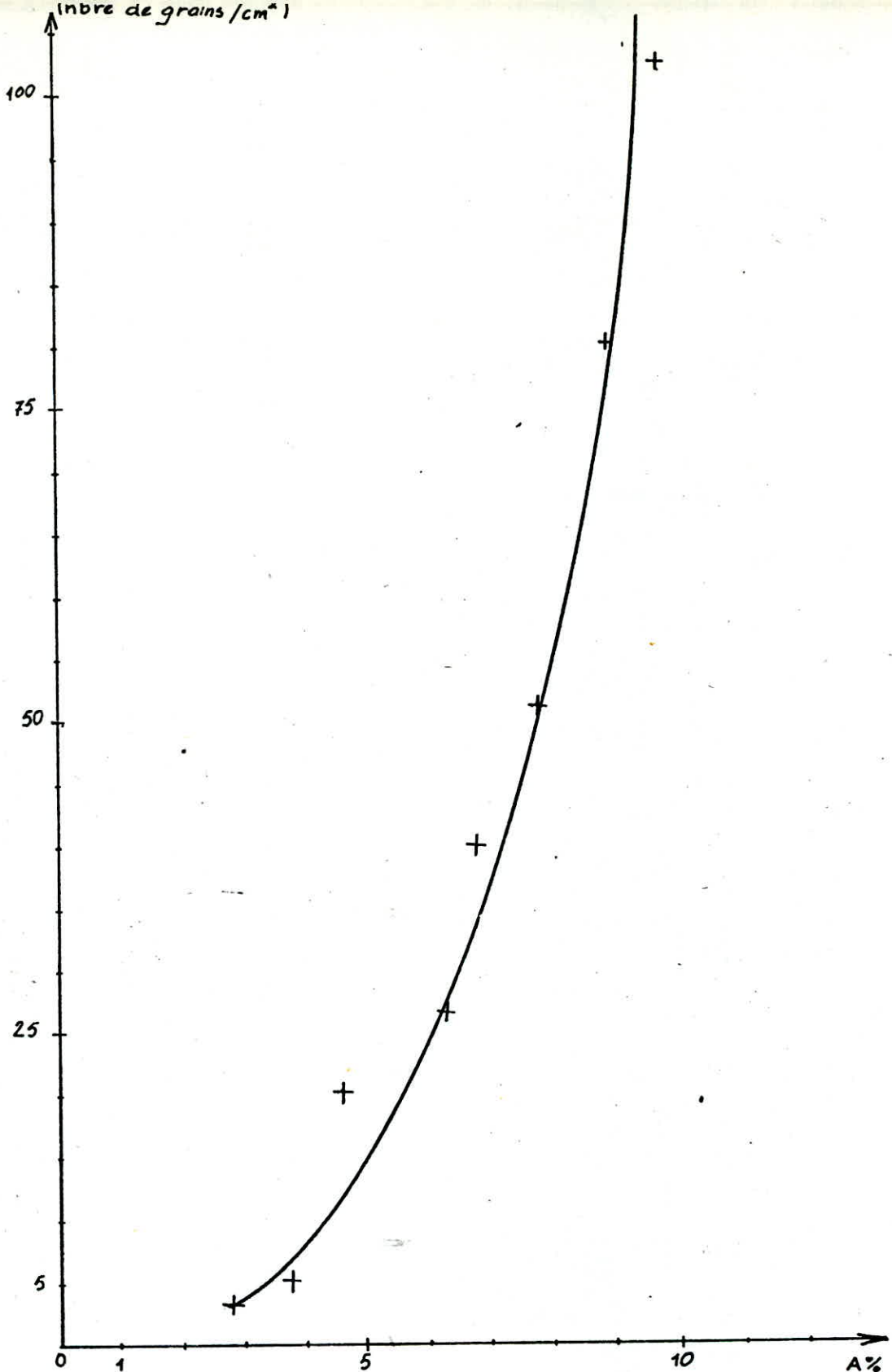


Fig.20. - Groupe représentatif de la variation du nombre de grains recristallisés en fonction du taux d'écrouissage ( $\text{nbre de grains}/\text{cm}^2 = f(A\%)$ ).

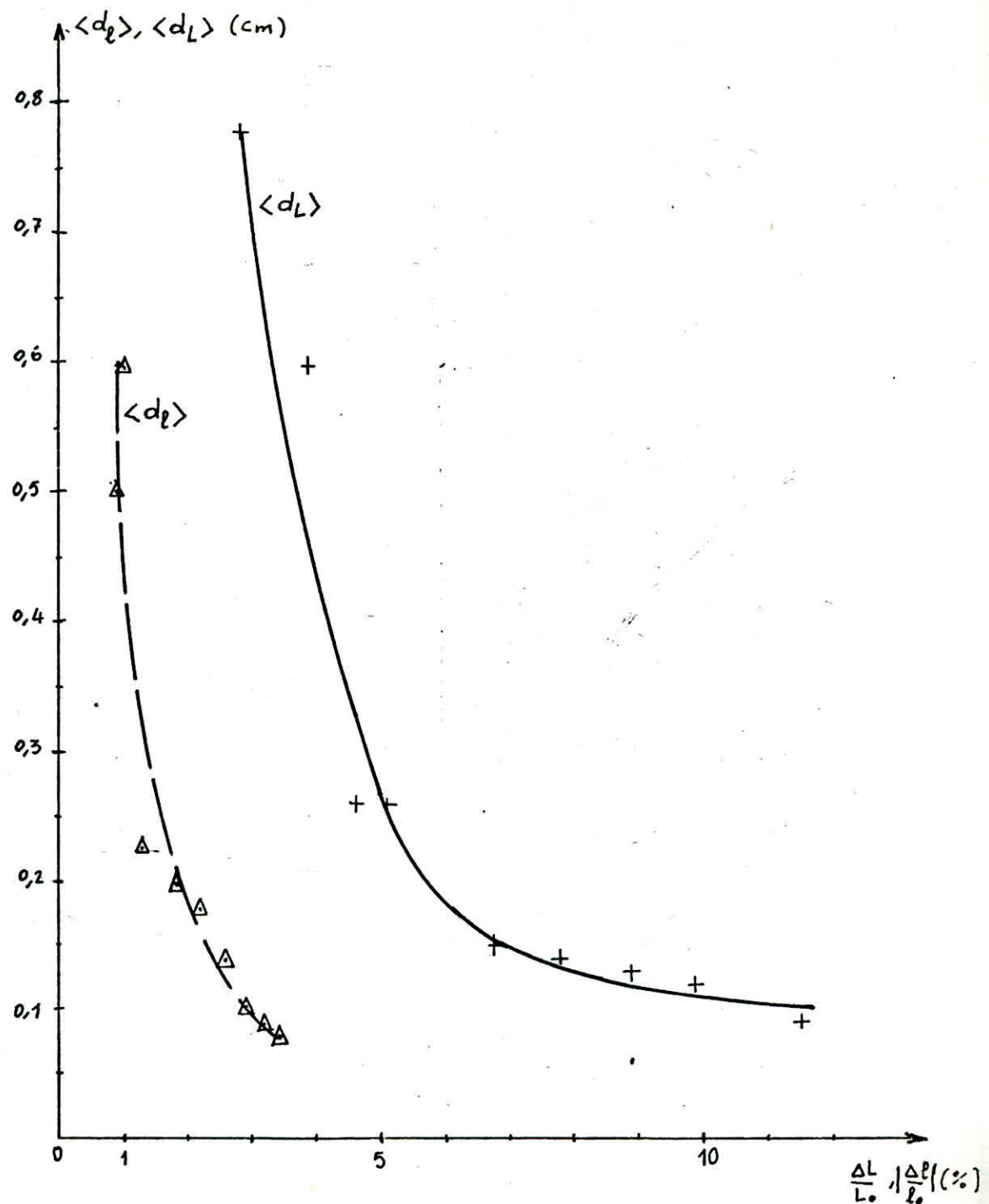


Fig. 21. - Graphes représentatifs des fonctions  
 $\langle d_L \rangle = f(\frac{\Delta L}{L_0})$  et  $\langle d_l \rangle = f(|\frac{\Delta l}{l_0}|)$

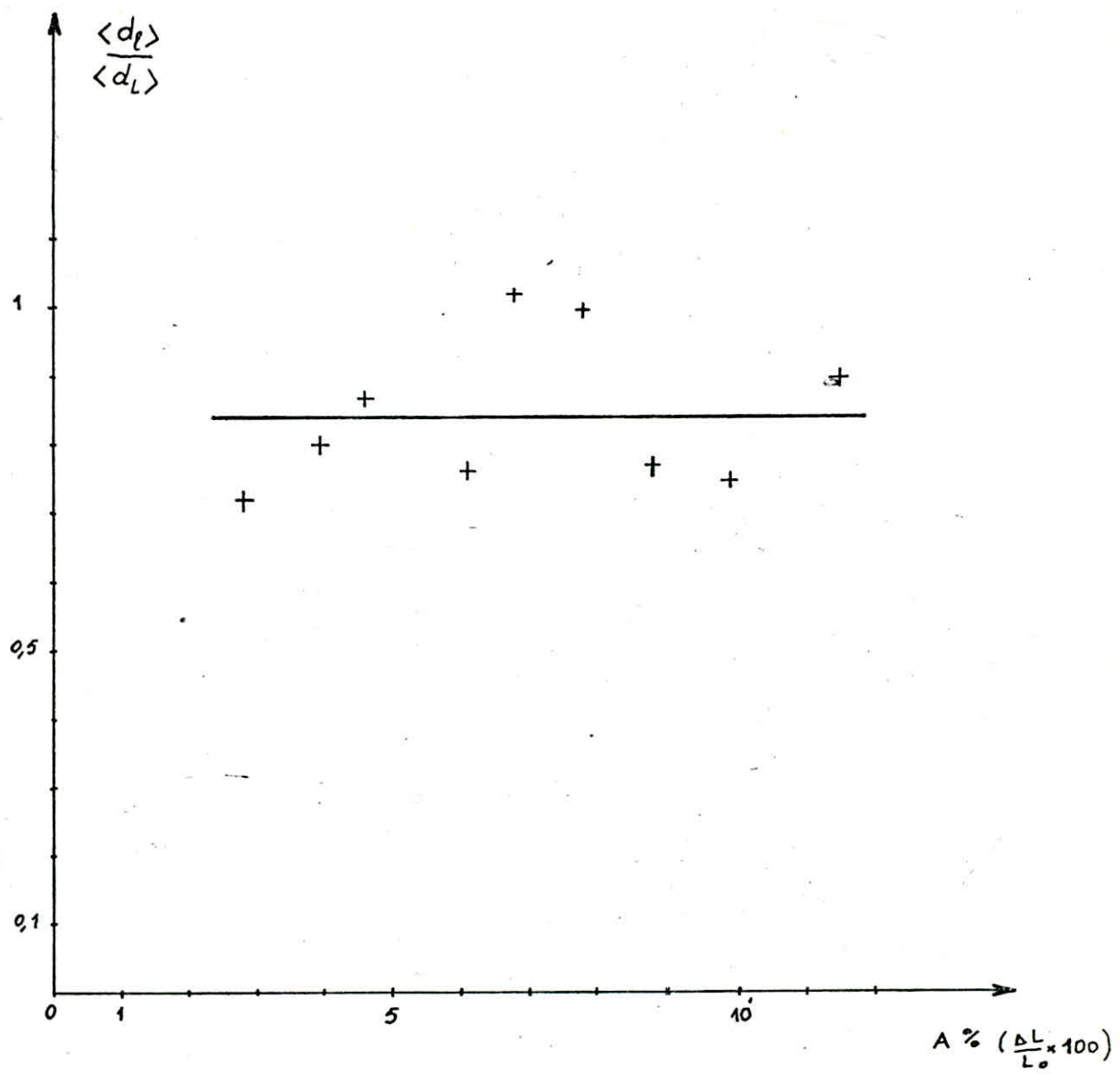


Fig. 22.- Graphe représentatif de la fonction  $\frac{\langle d_L \rangle}{\langle d_L' \rangle} = f(A\%)$ .

### 5.1.3 Influence de la structure de recristallisation sur les propriétés mécaniques

Les essais de microdureté Vickers sur les éprouvettes déformées de 0 à 10% puis recristallisées montrent que la dureté augmente avec l'écrasage donc avec le nombre de grains recristallisés par  $\text{cm}^2$  (fig. 23). Une comparaison avec la dureté de ces éprouvettes écrasées avant recristallisation, montre que l'effet de la recristallisation est la diminution de la dureté pour un état d'écrasage donné. Ce résultat est illustré sur la figure 24.

### 5.1.4 Détermination de l'écrasage critique

L'écrasage des éprouvettes polycristallines, de 0 à 10%, permet de déterminer la limite au-dessous de laquelle la germination de nouveaux cristaux ne se produit plus, et cette limite est d'environ 2,8%. Ce seuil correspond à l'écrasage critique de l'aluminium A5. Nous pouvons vérifier ce résultat sur la figure 20.

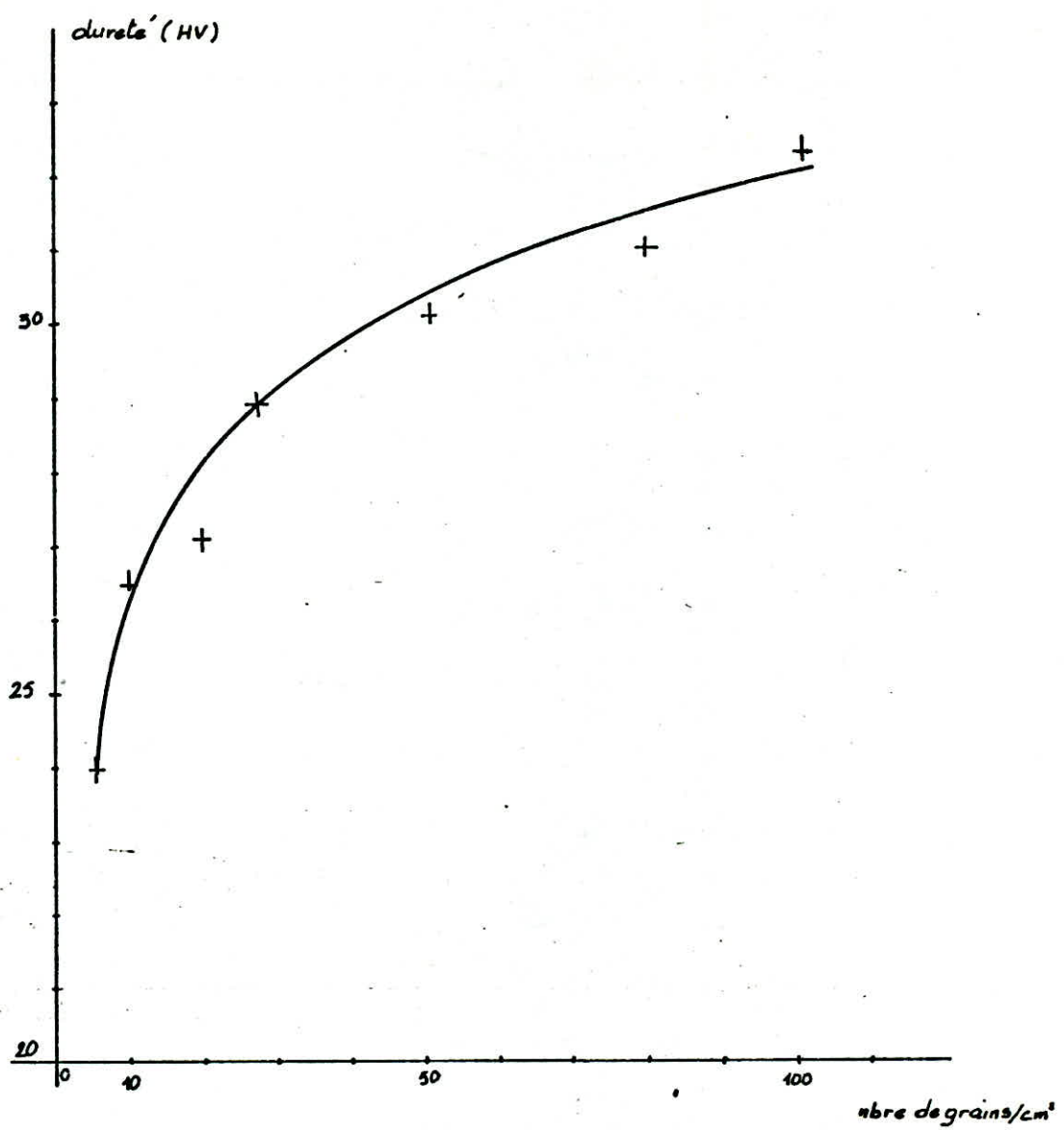


Fig. 23. - Graphe représentatif de la micro-dureté Vickers en fonction du nombre de grains, ( $HV = f(nbre \text{ de grains}/cm^2)$ ), recristallisés.

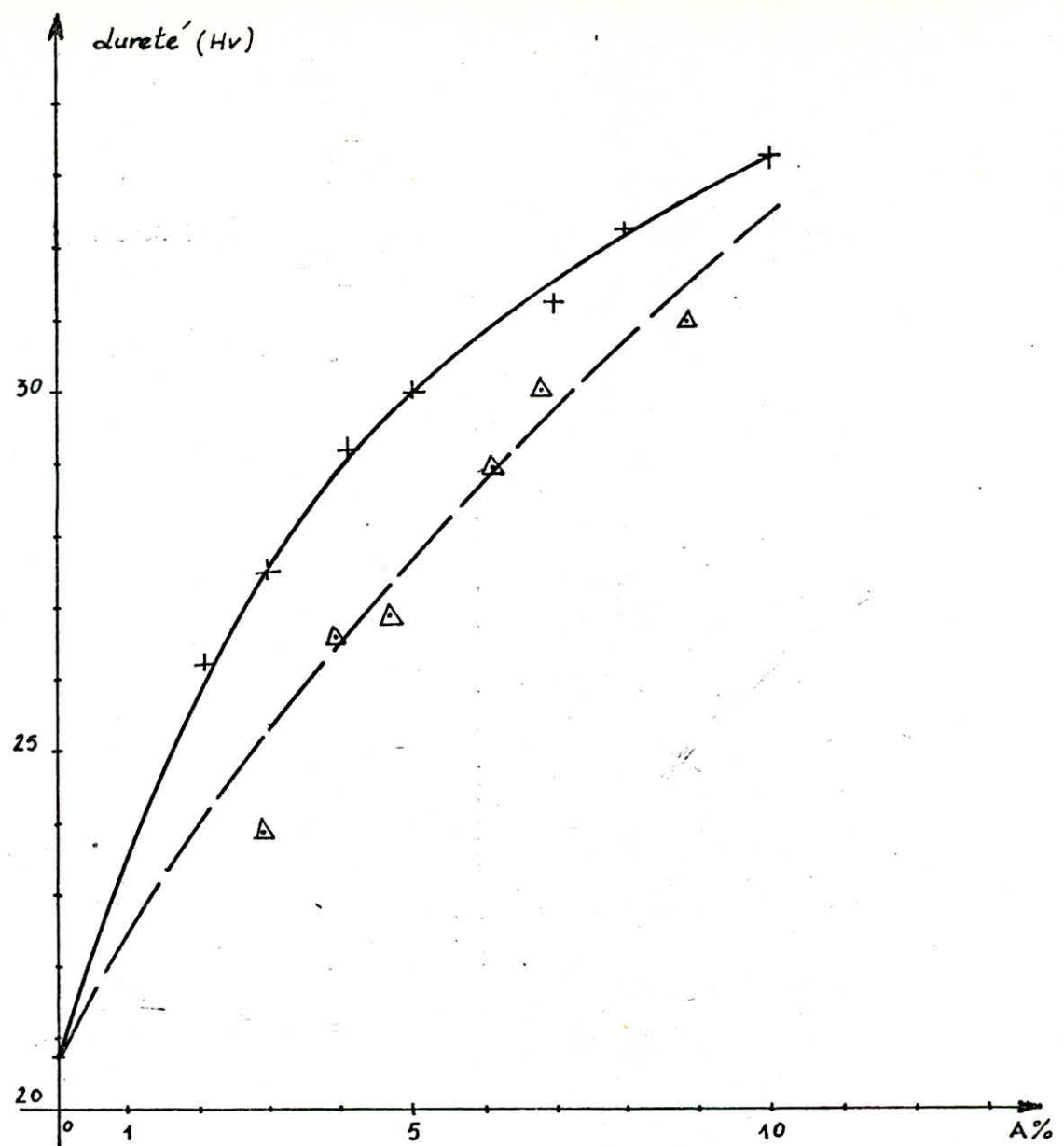


Fig: 24 .- Graphe représentatif de la dureté' Vickers en fonction de l'allongement A%

+ ————— échantillons écrois

Δ ————— échantillons recristallisés

## 5.2 . Analyses complémentaires

### 5.2.1 . Enregistrement du diagramme de traction avec détermination de la limite de proportionnalité

La machine de traction est équipée pour l'enregistrement de l'essai (fig 17). Selon le type de l'alliage et l'histoire du matériau, les diagrammes de traction peuvent être très différents. Pour un métal déterminé, seule la pente de la droite de Hooke, c'est une mesure du module d'élasticité, est constante. La figure 25 représente un diagramme de traction caractéristique de l'aluminium A5 recuit pendant 3 heures à 450 °C.

On voit que la droite de Hooke a une pente très raide.

Dans ce diagramme on tire les caractéristiques suivantes

- la charge à la rupture

$$R = 755 \text{ daN} \text{ pour } S_0 = 90 \text{ mm}^2 \Rightarrow R \approx 8,39 \text{ daN/mm}^2$$

- l'allongement à la rupture

$$A = 46\%$$

Nous pouvons aussi lire dans ce diagramme la "limite de proportionnalité". Cette grandeur indique pour qu'elle tension apparaît un allongement permanent de 0,02%. Une déformation plastique aussi faible peut parfois jouer un rôle en construction. Mais il suffit dans la plupart des

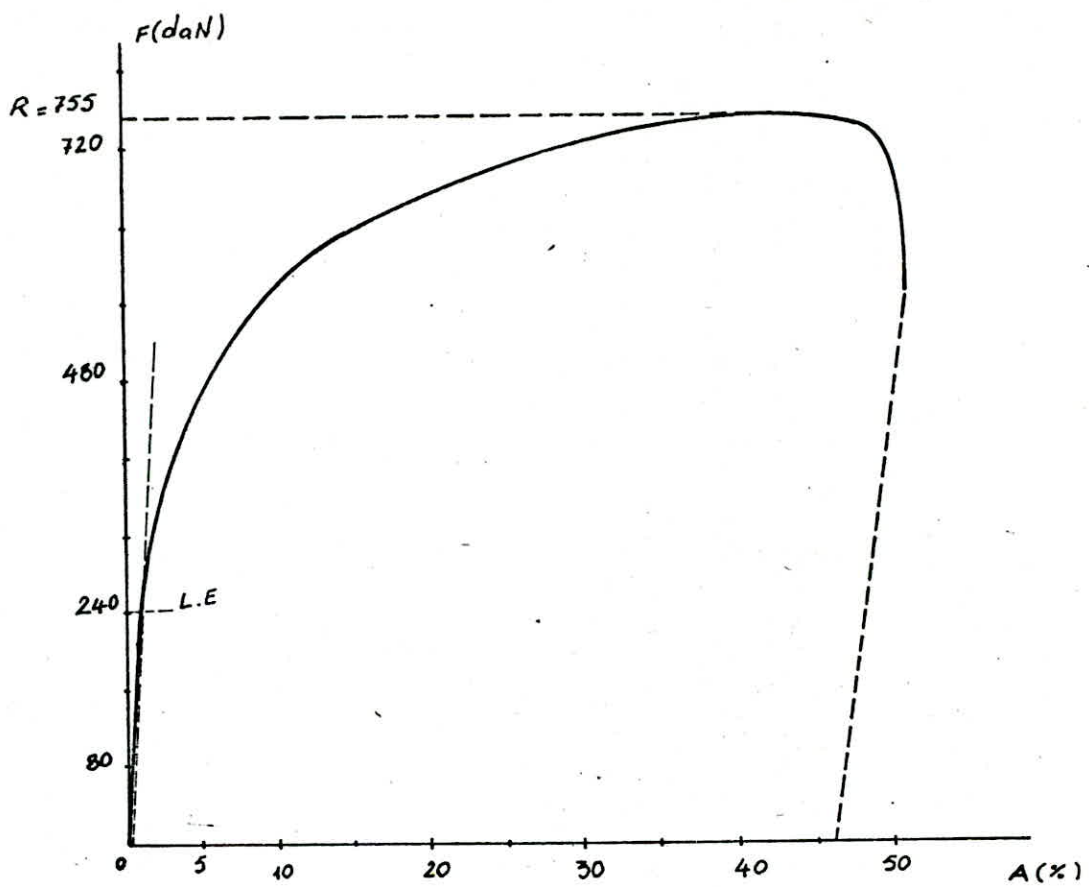


Fig. 25. — Diagramme Force allongement enregistré sur machine de traction.

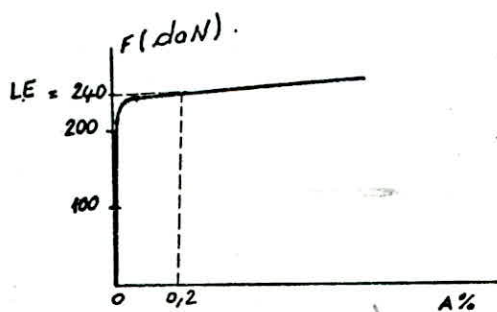


Fig. 26. — Diagramme force allongement enregistré avec un extensiomètre.

cas de déterminer la limite élastique à 0,2%, plus facile à mesurer.

Dans notre travail, cette mesure a été déterminée avec un extensiomètre électronique.

$$L_{E_{0,2}} = 240 \text{ daN} \text{ pour } S_0 = 90 \text{ mm}^2$$

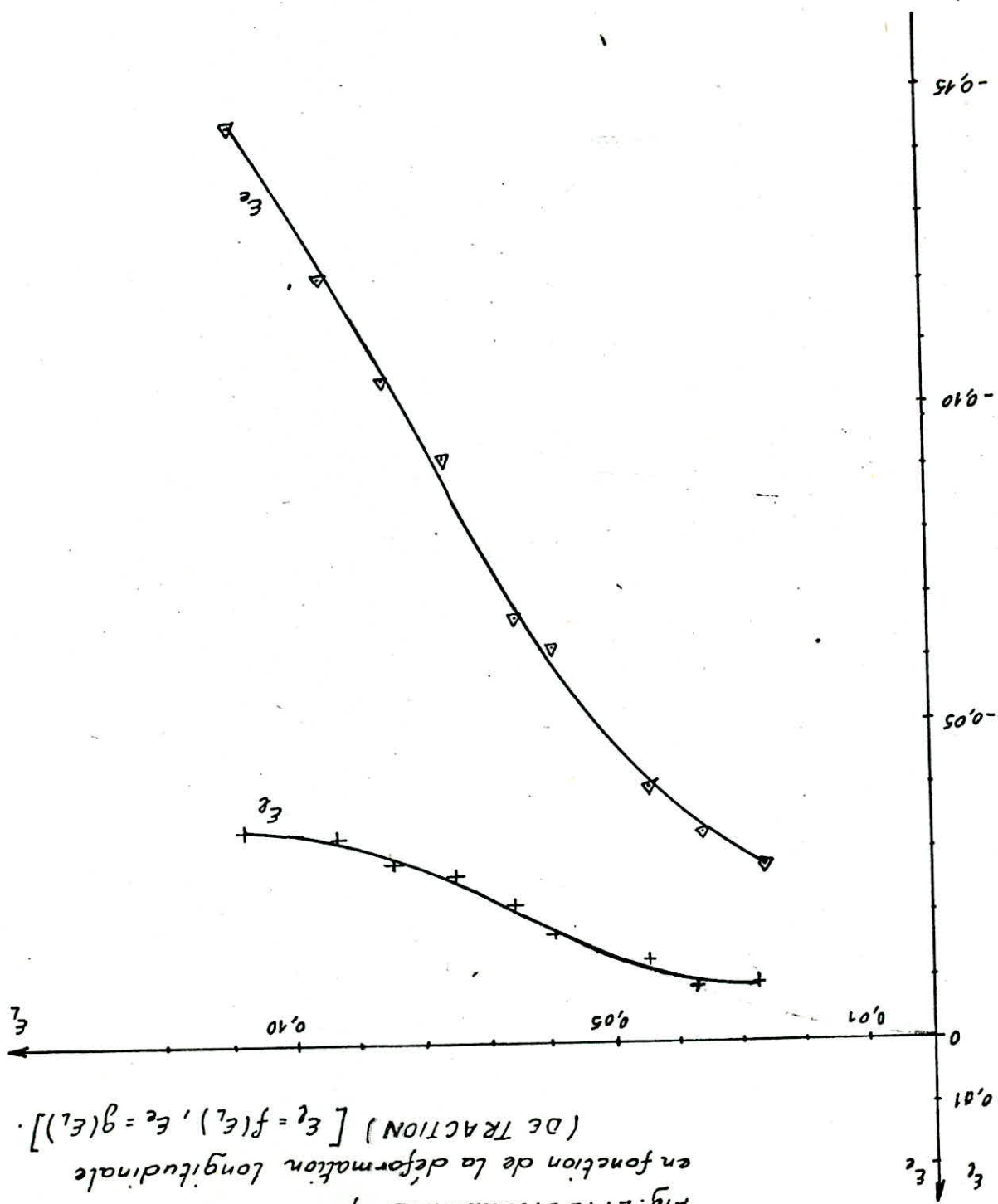
$$\text{d'où } L_{E_{0,2}} = 2,7 \text{ daN/mm}^2$$

ce résultat est illustré sur la figure 26.

5.2.2 Evolution des déformations longitudinale  
et transversales au cours de l'écrouissage.

Tableau 12

Eprovette	$\varepsilon_L = \ln \frac{L}{L_0}$	$\varepsilon_\ell = \ln \frac{\ell}{\ell_0}$	$\varepsilon_e = \ln \frac{e}{e_0}$
1	0	0	0
2	0,027	- 0,0097	- 0,027
3	0,038	- 0,0089	- 0,033
4	0,045	- 0,0129	- 0,040
5	0,059	- 0,0180	- 0,061
6	0,066	- 0,0224	- 0,066
7	0,075	- 0,0267	- 0,093
8	0,085	- 0,0290	- 0,104
9	0,094	- 0,0330	- 0,122
10	0,108	- 0,0348	- 0,146



D'après le tableau 12 nous avons tracé la figure 27 sur laquelle nous constatons que la déformation est plus faible suivant la largeur que la déformation suivant l'épaisseur. Au cours de la déformation de l'éprouvette, la fragmentation des grains, constituant cette dernière, se fait de façon anisotrope ; ce qui confirme l'allongement du grain dans la direction de la déformation et sa contraction dans les directions perpendiculaires. Il est évident que cette anisotropie est due à la nature de la déformation appliquée (déformation uniaxiale par traction).

## Conclusion

La recristallisation se produit à partir d'un certain écrasissage minimum d'environ 3% qui correspond à l'écrasissage critique de l'aluminium A5.

La morphologie de recristallisation dépend du taux d'écrasissage préalable. Le grain de recristallisation est d'autant plus fin et isotrope que le taux d'écrasissage est élevé. De même, nous avons constaté que la répartition de la morphologie de recristallisation est plus homogène. Pour de faibles déformations, de l'ordre de 3 à 4%, les grains sont anisotropes : ils sont allongés dans le sens de la traction. Ceci est du au cisaillement provoqué par le mécanisme de glissement et de la rotation.

La duréte de l'aluminium augmente avec l'écrasissage. Ceci provient de la fragmentation des grains au cours de l'écrasissage qui provoque une augmentation des surfaces de joints de grains, dans lesquels sont concentrées les dislocations, les défauts et les impuretés.

La recristallisation abaisse la duréte et améliore donc la plasticité. Le grain recristallisé est moins "dur" qu'à l'état écrasé. Ceci résulte du déplacement des joints de grains. Un joint de grains peut se déplacer par rapport à l'ensemble formé par les deux cristaux qu'il sépare, et sa migration provoque un perfectionnement du réseau. Ce qui entraîne la formation de nouveaux grains, à structure plus parfaite que celle de la matrice écrasée, par le processus de germination et croissance.

Avec les moyens mis à notre disposition il nous a été malheureusement difficile de contrôler la migration des joints, des grains et par conséquent le processus de formation des grains de recristallisation à partir de la matrice écrasée. Ceci ne nous permet pas d'expliquer l'anisotropie que nous nous limitons à constater seulement.

Nous sommes convaincus qu'une étude plus détaillée de la déformation et de la recristallisation du grain de l'aluminium apportera considérablement des améliorations et une meilleure maîtrise sur le processus industriels de traitement mécaniques et thermiques.

Liste des figures

Figs 1, 2, 3	11
Figs 4, 3bis	15
Figs 5, 6	21
Figs 7, 9	25
Figs 8, 10	27
Figs 11, 12	30
Figs 13, 14	42
Fig 15	43
Fig 16	46
Fig 17	48
Fig 18	51
Fig 19	55
Fig 20	58
Fig 21	59
Fig 22	60
Fig 23	62
Fig 24	63
Figs 25, 26	65
Fig 27	68

## Références et bibliographie

- [1] - Techniques de l'ingénieur Form M 443-1 édition 1982  
- Péchiney . L'aluminium tome 1
- [2] - M. CHOSSAT, P. LACOMBE et G. CHAUDRON  
Revue. Mét., 46, p 676 (1949)
- [3] - Ph. ALBERT et J. LE HERICY  
C.R. Acad. Sci. 242, p 1612 (1956)
- [4] - M. BONZEL le tréfilage de l'acier.
- [5] - D. ALTEMPOHL . Un regard à l'intérieur de l'aluminium.  
GmbH . Düsseldorf édition 1975.
- [6] - C.S BARRETT Structure des métaux
- [7] - O. DIMITROV la migration des joints de grains  
colloque int. du CNRS  
( les joints intergr. dans les métaux )  
p. c 4 321 (1975).
- [8] - J. BENARD, A. MICHEL, J. PHILIBERT et J. TALBOT la mét. générale .
- [9] - C. CHAUDRON Monographie des métaux de haute pureté.

[10] . B CHALMERS la métallurgie physique.

[11] . Y.ADDA , J.DUPOUY , J.PHILIBERT et Y.QUERE  
Eléments de la mét. phy. (déformation plastique).

[12] . P.COULOMB Les textures dans les métaux cubiques.

[13] . H.MAJOLIN Recristallisation et texture.

[14] . B.BAUDELET, M.DEGUEN, P.PARNIERE, F.RONDE OUSTAU et G.SANZ .  
Mémoires scientifiques . Revue de la métallurgie ( Juillet 1978).

[15] . P.PARNIERE - Mémoires scientifiques . Revue de la métallurgie ( Décembre 1978 ).

